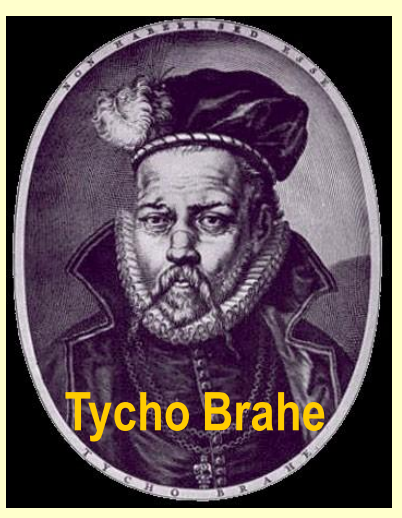
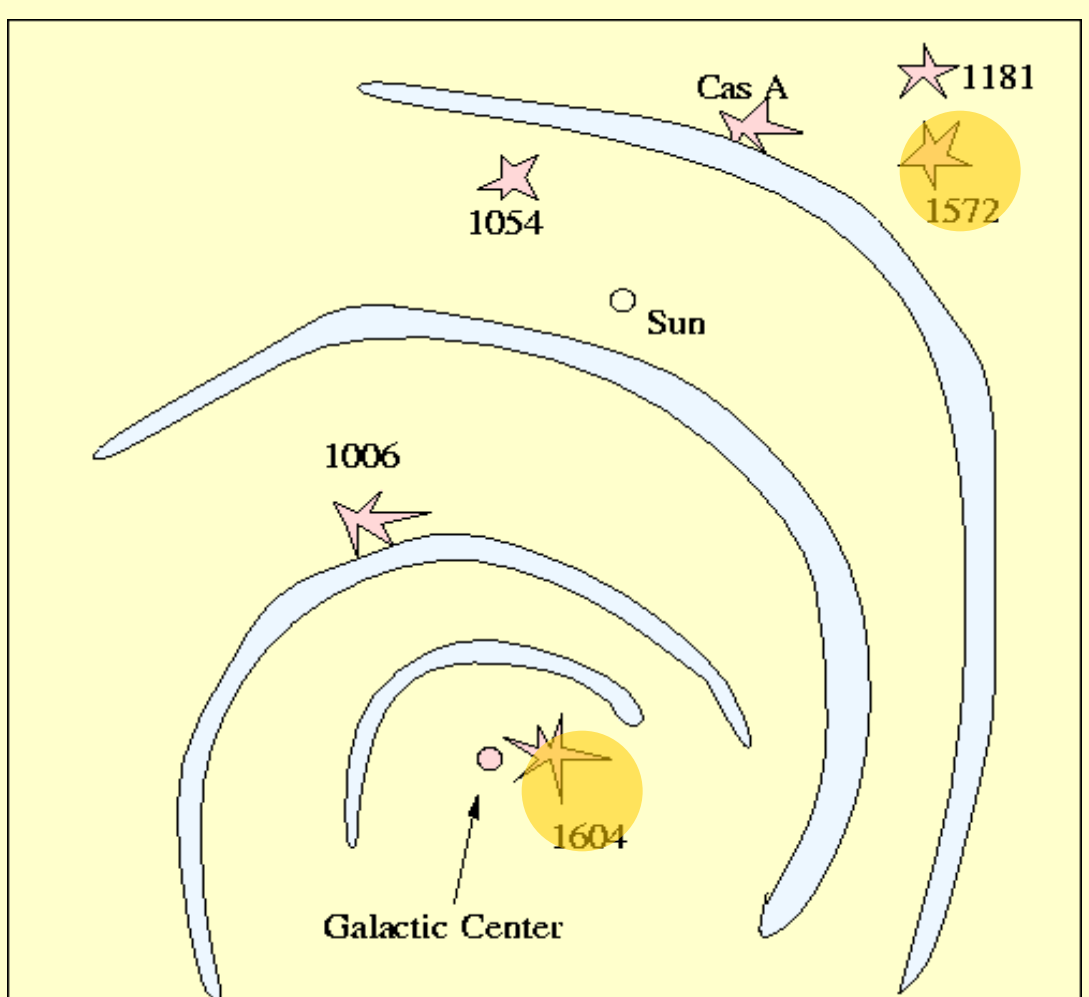
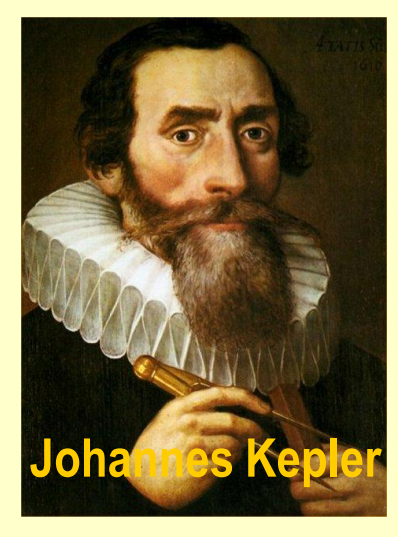


N. PRANTZOS Institut d'Astrophysique de Paris

Supernovae "historiques"







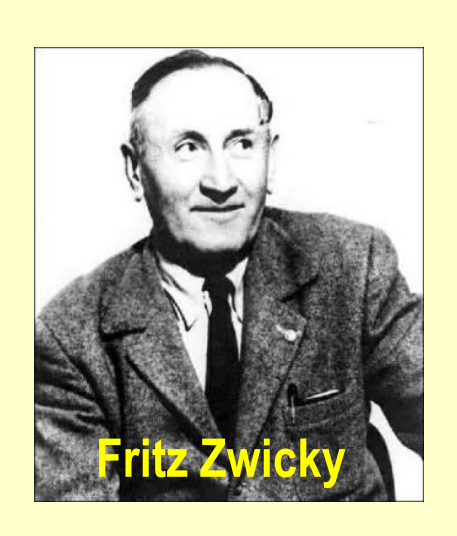
Aucune supernova visible dans la Voie Lactée depuis 4 siècles (pourtant, on estime leur fréquence dans la Galaxie à 2 par siècle...)

L'énergie des supernovae

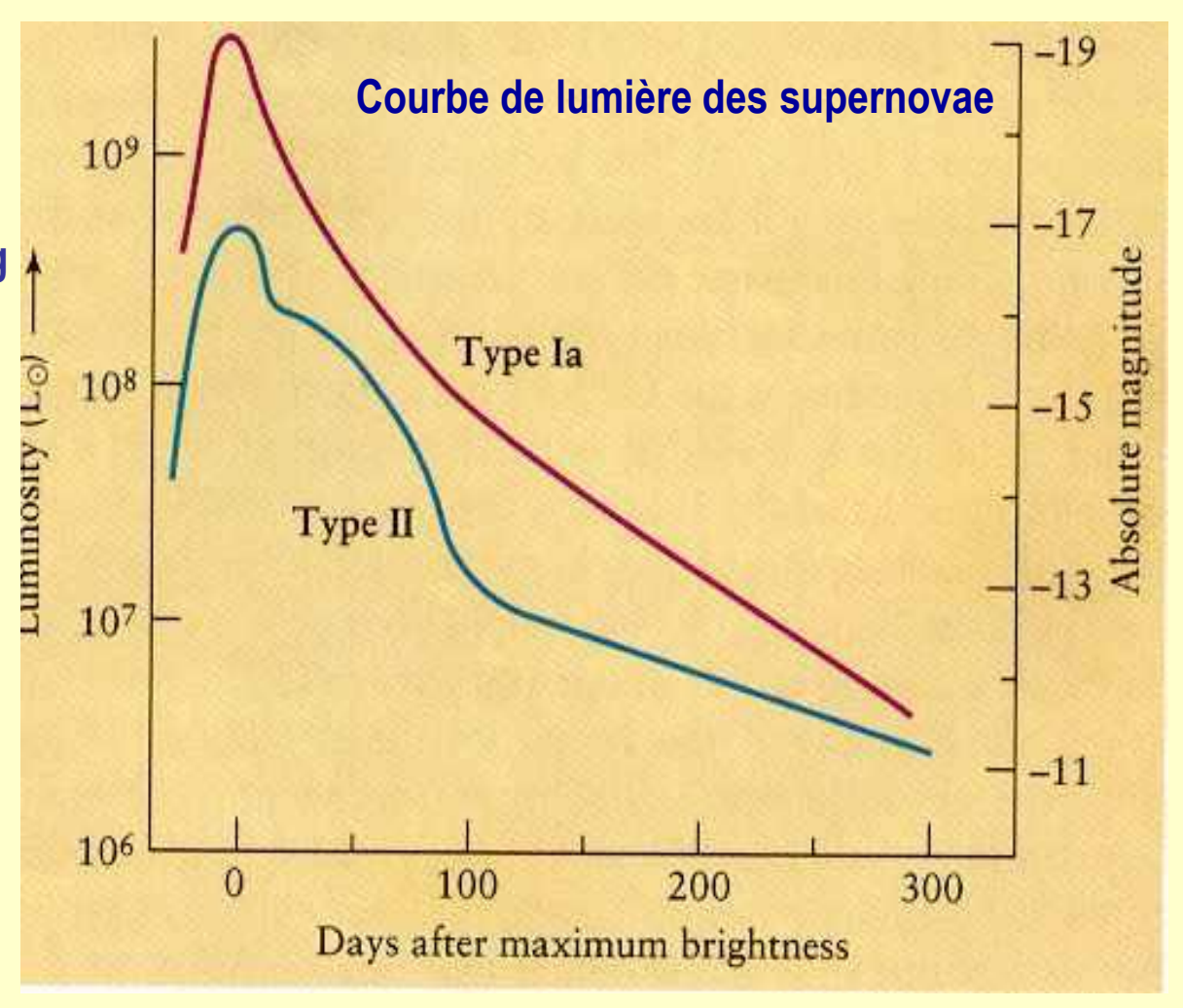
Luminosité maximale : 10⁴² erg/s (~1 milliard de Soleils, autant qu'une petite galaxie)

Energie lumineuse totale : ~10⁴⁹ erg

(autant que le Soleil
en 100 millions d'années)



Source de cette énergie?

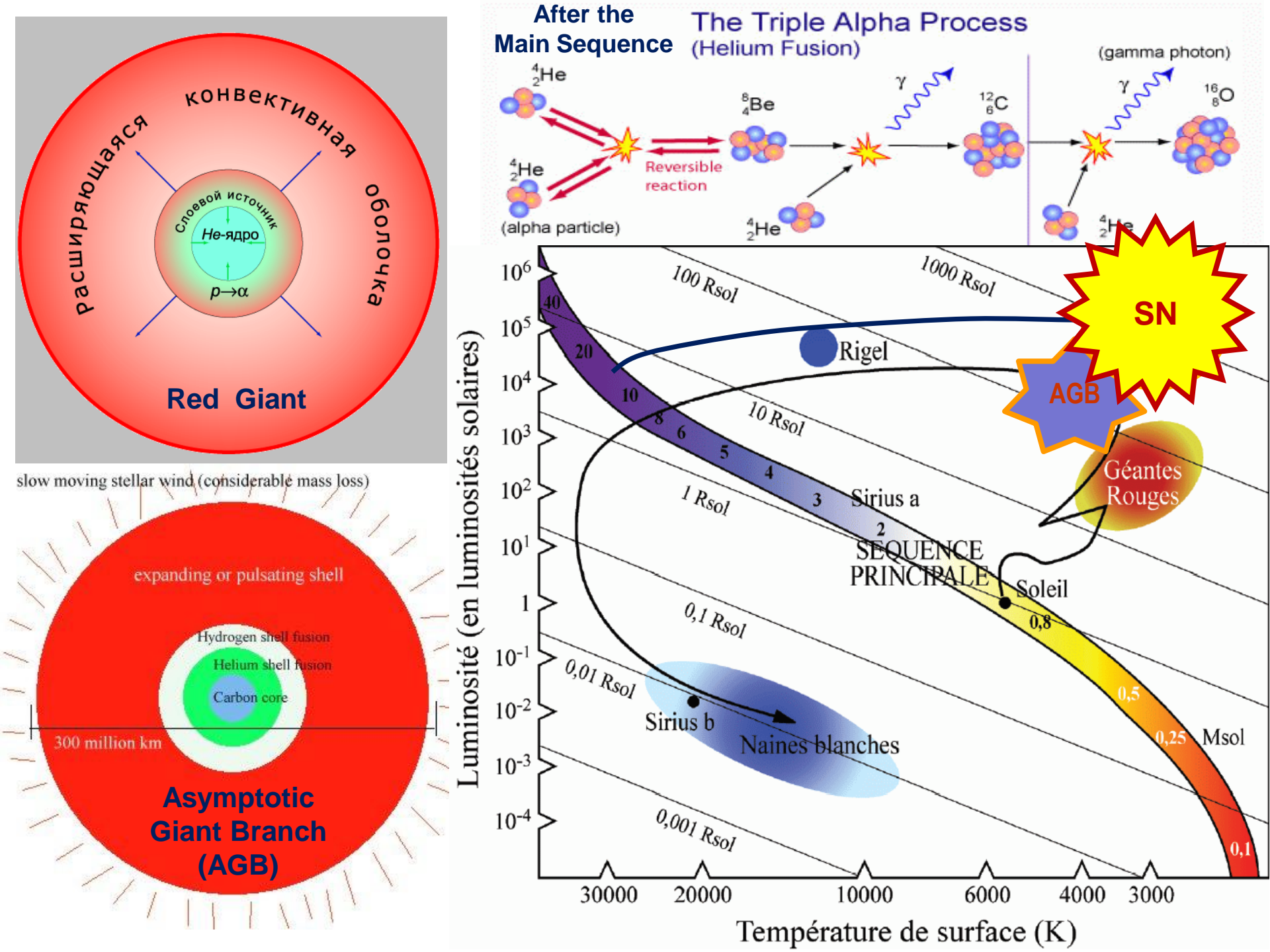


Fritz Zwicky (1932): Effondrement gravitationnel jusqu'à une étoile à neutrons

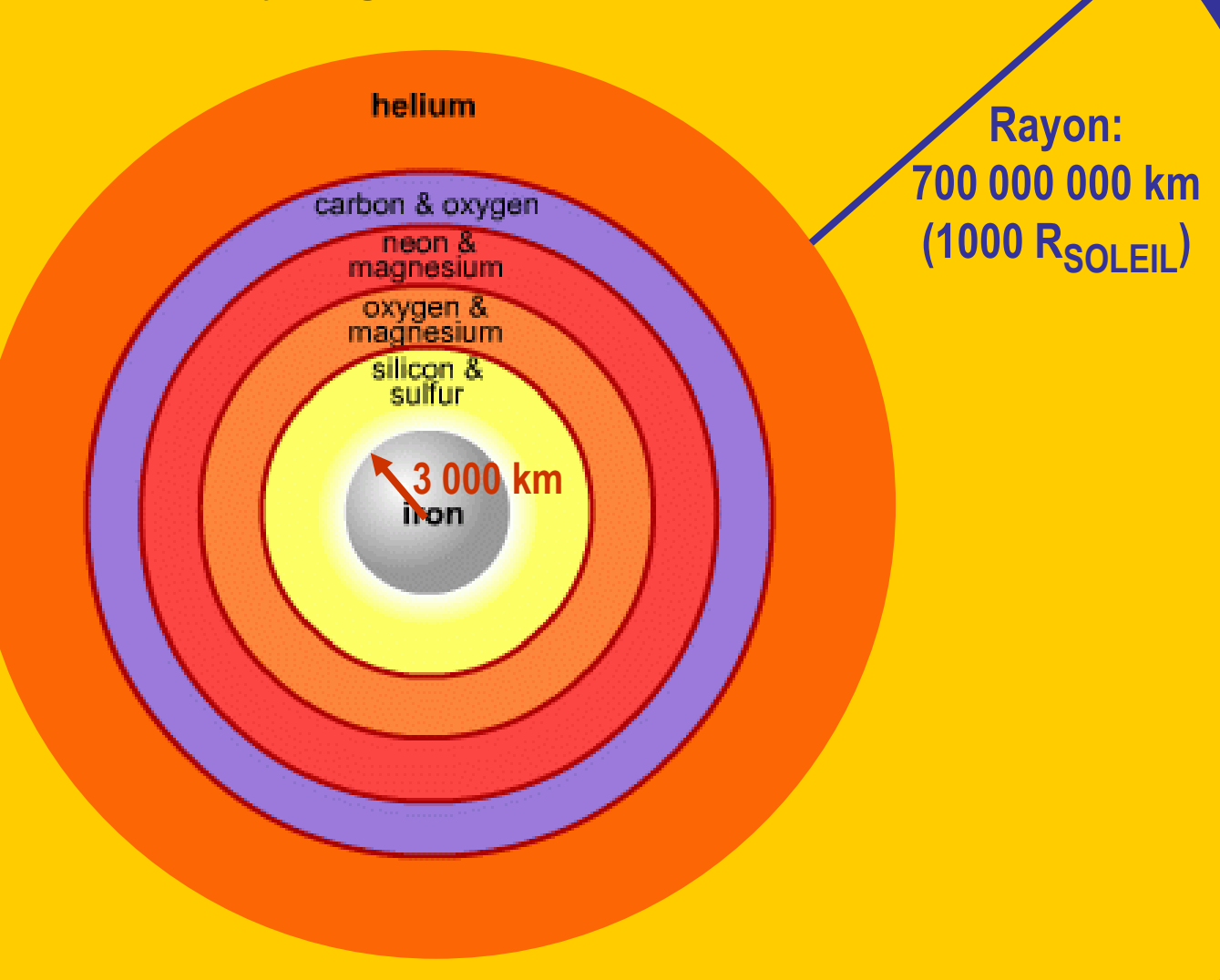
Fowler et Hoyle (1964): Explosion thérmonucléaire d'une étoile

Note: L'énergie cinétique de la supernova est 100 fois plus grande que l'énergie lumineuse

STARS: Luminosity vs Effective Temperature Main Sequence: Hydrogen burning (Magnitude vs Colour) Main Form of Proton-Proton (pp) Chain in Sun and Hertzsprung - Russel Diagram (HRD 14) **Low Mass Stars** (M<1.5 M⊙ T<20 MK) Surface Temperature (x 1000 K) 25 4 3 106 3He 1H Deneb Rigel Betelcause Orionis C An ares 104 The CNO Cycle in Massive Stars Zeta Ophiuchi (M>1.5 M⊙ T>20 MK) Aldebaran n Regulus Start Arcturu 102 Luminosity (L_{sun}) Vega. 12C 4He Pollux Sirius A Altair C-12 acts as a nuclear catalyst Alpha Centauri A VO. 1H 61 Cygni A 10-2 Krüger 60 A WHITE Barnard 15₈O S rius B Proxima Procyon B 10-4 UV Ceti **DWARFS** LHS 2924 Key 1H **GD 165B** proton positron **05 B0** K0 A0 FO G0 MΟ M10 v neutrino Spectral type VVVV γ photon



Hydrogen envelope



L'énergie dégagée par la combustion nucléaire chauffe le coeur de l'étoile et lui permet de résister à sa propre gravitation

Le fer-56 est le noyau le plus stable de la nature et ses réactions ne dégagent pas de l'énergie. Le coeur de fer s'effondre et l'étoile meurt

Advanced burning stages in massive stars

T ~ 200 million K

IMPORTANT REACTIONS IN HELIUM BURNING

T ~ 900 million K

IMPORTANT REACTIONS IN CARBON BURNING

Energy generation: $^{4}\text{He}(2\alpha,\gamma)^{12}\text{C}(\alpha,\gamma)^{16}\text{O}(\alpha,\gamma)^{20}\text{Ne}$

Neutron source:

$$^{14}N(\alpha,\gamma)^{18}F(\beta^+)^{18}O(\alpha,\gamma)^{22}Ne\frac{(\alpha,\gamma)^{26}Mg}{(\alpha,n)^{25}Mg}$$

Basic:

$$^{12}C\binom{^{12}C}{p}^{20}Ne$$
 $^{23}Na(p,\alpha)^{20}Ne$

 23 Na $(p,\gamma)^{24}$ Mg

T ~ 1500 million K

NEON BURNING

T ~ 2000 million K

OXYGEN BURNING

Basic reactions:

20
Ne $(\gamma,\alpha)^{16}$ O

20
Ne(α,γ) 24 Mg(α,γ) 28 Si

Basic reactions:

$$^{16}O \begin{cases} (^{16}O,p)^{31}P \\ (^{16}O,\alpha)^{28}Si \\ (^{16}O,n)^{31}S(\beta^{+})^{31}P \end{cases}$$

$$^{31}P(p,\alpha)^{28}Si(\alpha,\gamma)^{32}S$$

$$^{28}Si(\gamma,\alpha)^{24}Mg(\alpha,p)^{27}Al(\alpha,p)^{30}Si$$

$$^{32}S(n,\gamma)^{33}S(n,\alpha)^{30}Si(\alpha,\gamma)^{34}S$$

Si – "Melting" (T \geq 3. 10⁹ K)

At high temperatures **photodesintegrations** $[(\gamma,\alpha)(\gamma,p)(\gamma,n)]$ become very rapid

Ejected particles $(\mathbf{n}, \mathbf{p}, \alpha)$ are captured by nuclei to form nuclei with larger binding energies

$$\mathsf{Si28} + \gamma \Leftrightarrow \mathsf{Mg24} + \alpha \quad \mathsf{Si28} + \alpha \Leftrightarrow \mathsf{S32} + \gamma \quad \mathsf{S32} + \alpha \Leftrightarrow \mathsf{Ar36} + \gamma \quad \mathsf{Ar36} + \alpha \Leftrightarrow \mathsf{Ca40} + \gamma...$$

Reaction:
$$1 + 2 \longrightarrow 3 + 4 (+ S)$$

Reaction energy:
$$S = (m_1 + m_2 - m_3 - m_4) c^2$$

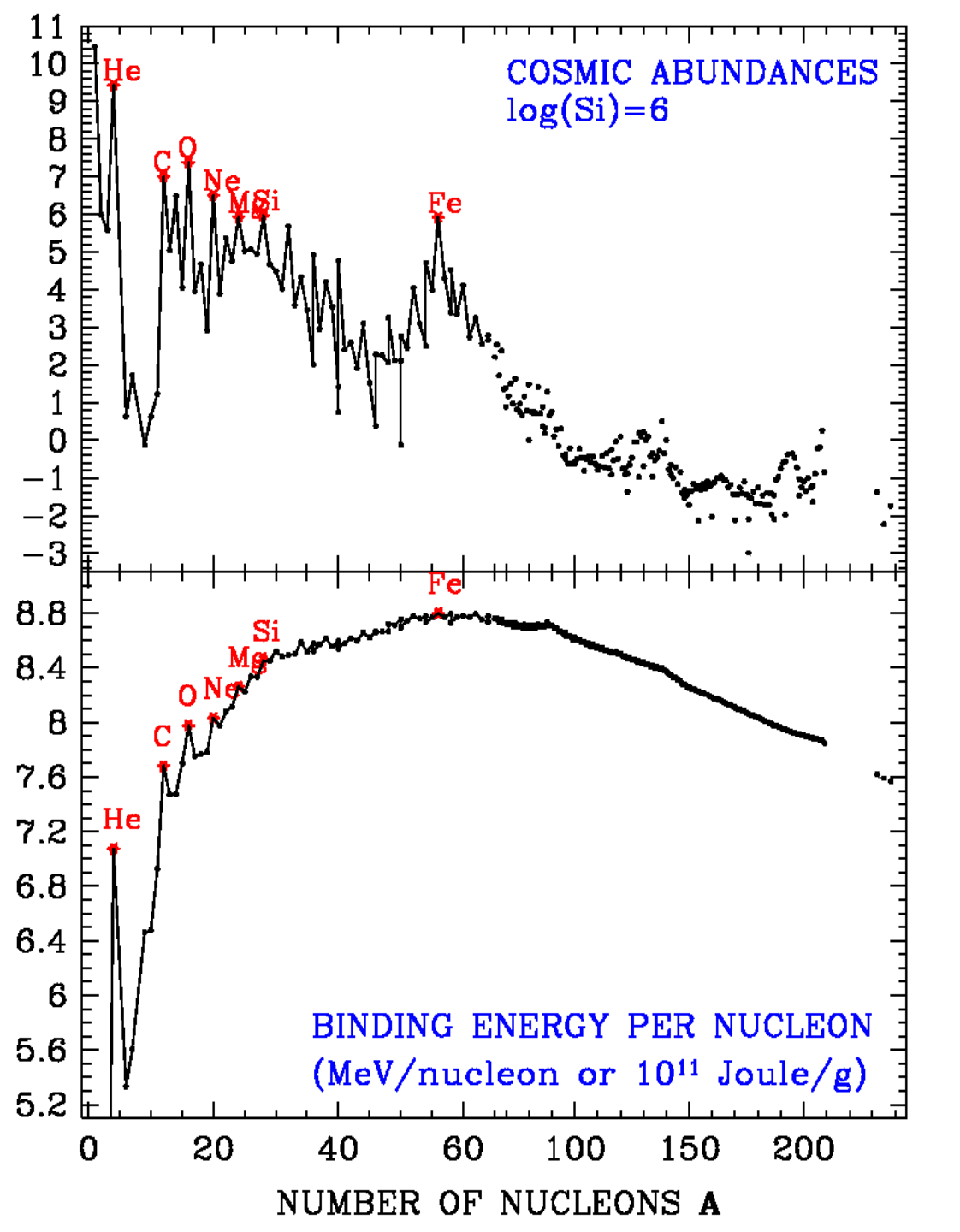
 $= Q_3 + Q_4 - Q_1 - Q_2$
[Nucleus Binding Energy:
 $Q = (Z m_P - N m_N - m) c^2$]

Cross section:
$$\langle \sigma v \rangle_{34} \propto \langle \sigma v \rangle_{12} e^{-S/kT}$$

High T
$$\longrightarrow$$
 Equilibrium: Rate₁₂ = Rate₃₄
N₁ N₂ < $\sigma v >_{12}$ = N₃ N₄ < $\sigma v >_{34}$

$$\frac{N_3 N_4}{N_1 N_2} \propto e^{S/kT}$$

Matter composition shifts to Fe-peak nuclei (largest binding energies) Energy produced: E/m ~ 1.9 10¹⁷ erg/gr~ 0.2 MeV/nucleon



Cosmic abundances of nuclides are roughly correlated with nuclear stability

(alpha-nuclei, Fe peak nuclei or nuclei with even nucleon number are more abundant than their neighbors)

Nuclear processes
have shaped the
cosmic abundances
of the chemical elements

NUCLEAR STATISTICAL EQUILIBRIUM (NSE)

When all strong nuclear reactions are equilibrated, the abundance of a nucleus depends on its binding energy, the ambient temperature and density and the neutron excess $\eta = (N-Z)/(N+Z)$

Weak interactions (mostly electron captures)
never reach equilibrium (because neutrinos escape),
and slowly increase η (neutronisation)

$$Y_i(A, Z) = (\rho N_A)^{A_i - 1} \frac{\omega(A_i, Z_i)}{2^{A_i}} A_i^{3/2}$$

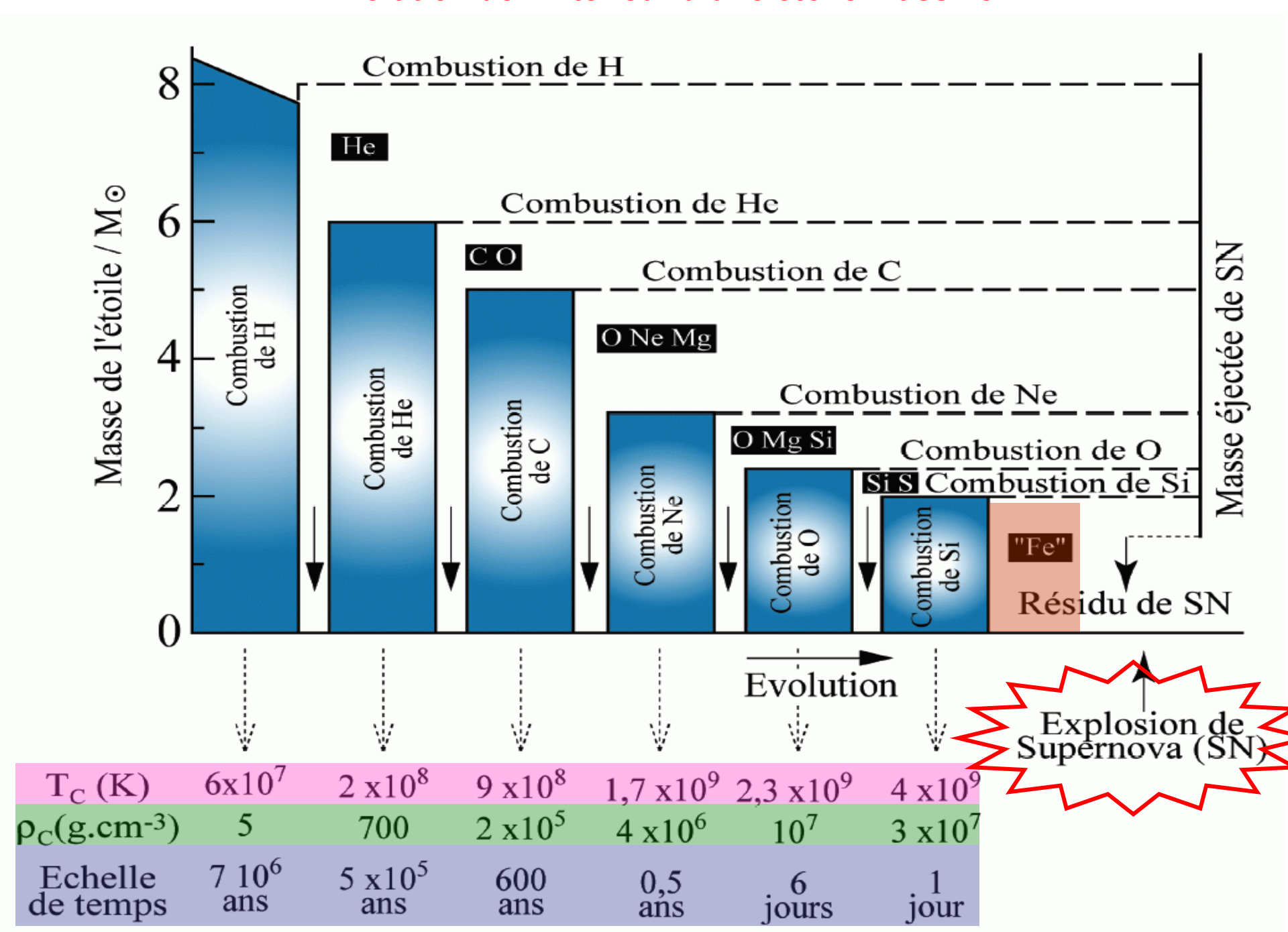
$$\times \left(\frac{2\pi\hbar^2}{m_{rr}kT}\right)^{3/2(A_i-1)} e^{-Q(A_i,Z_i)/kT} Y_p^Z Y_n^N, \quad i=1, N-2 \quad (8)$$

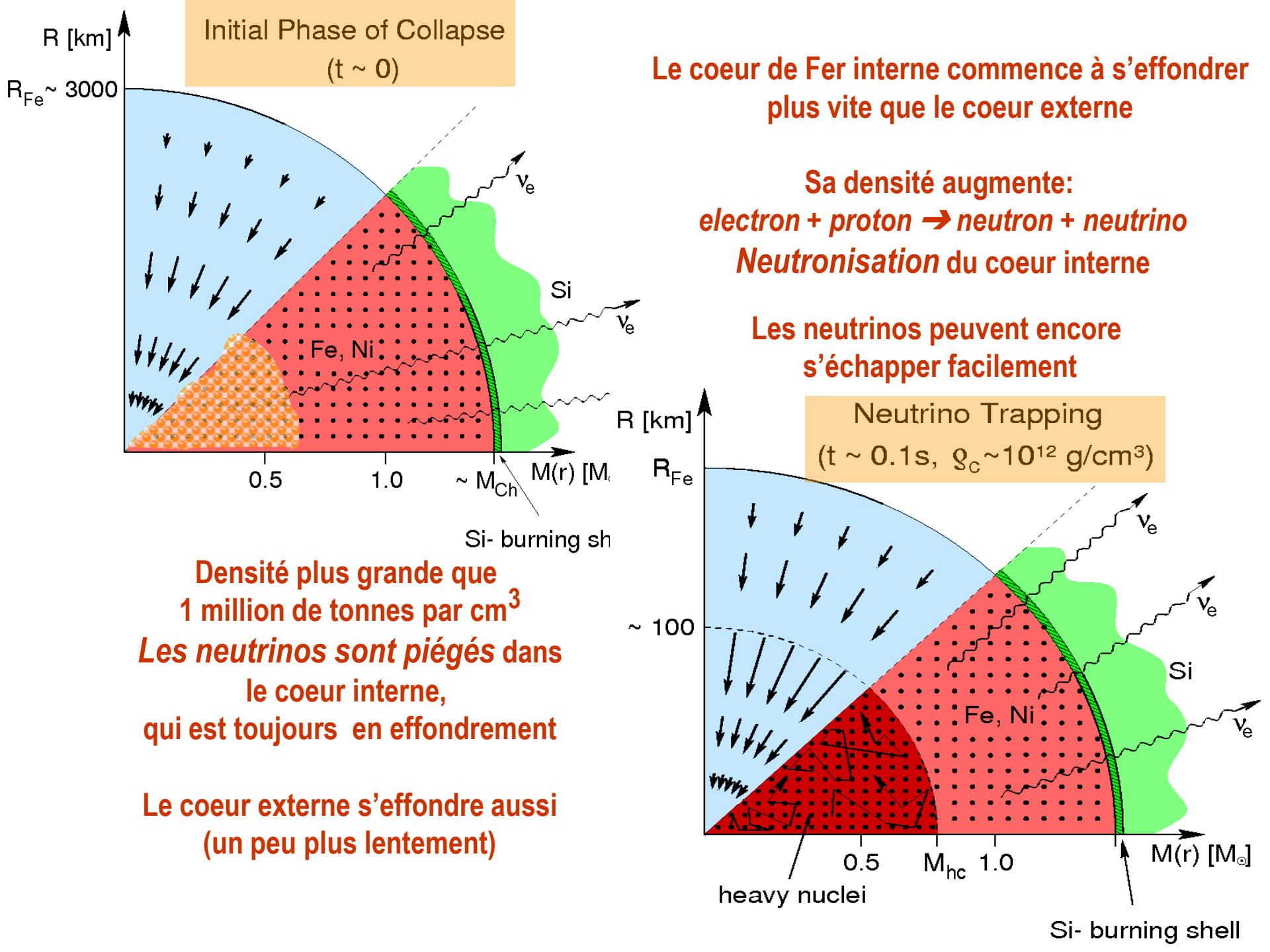
$$\sum_{i} \frac{\partial Y_{i}}{\partial t} = \sum_{i,k} (Z_{k} - Z_{j}) \lambda_{j} Y_{j} , \qquad (9)$$

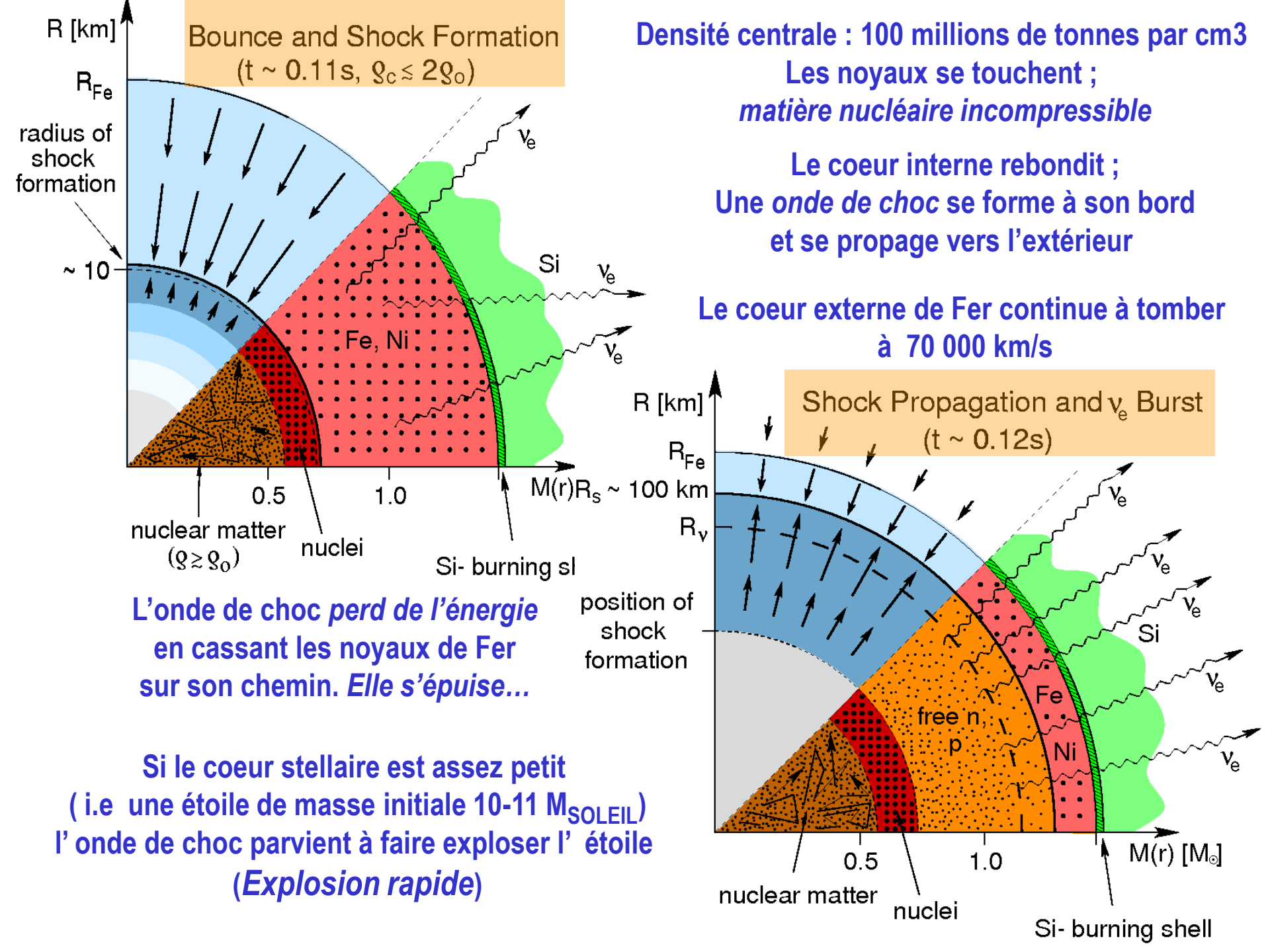
$$\sum_{i} Y_i A_i = 1 , \qquad (10)$$

where $\omega(A_i, Z_i)$ is the partition function and $Q(A_i, Z_i)$ is the binding energy of the species *i*. The first N-2 equations give the NSE distribution of all of the nuclear species, but for the neutrons and protons, equation (9) describes the neutronization due to the weak interactions and equation (10) represents the conservation of mass.

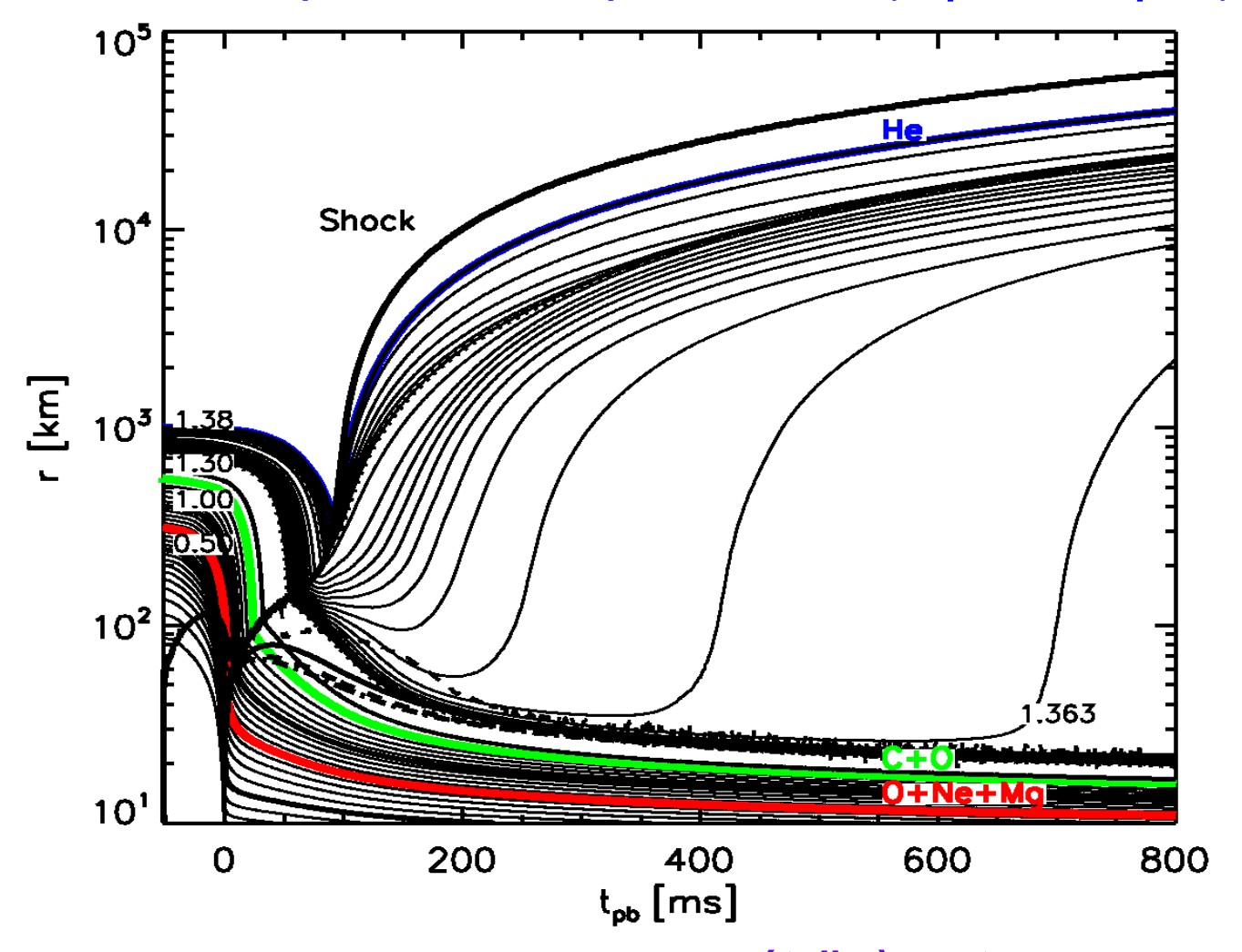
Evolution de l'intérieur d'une étoile massive







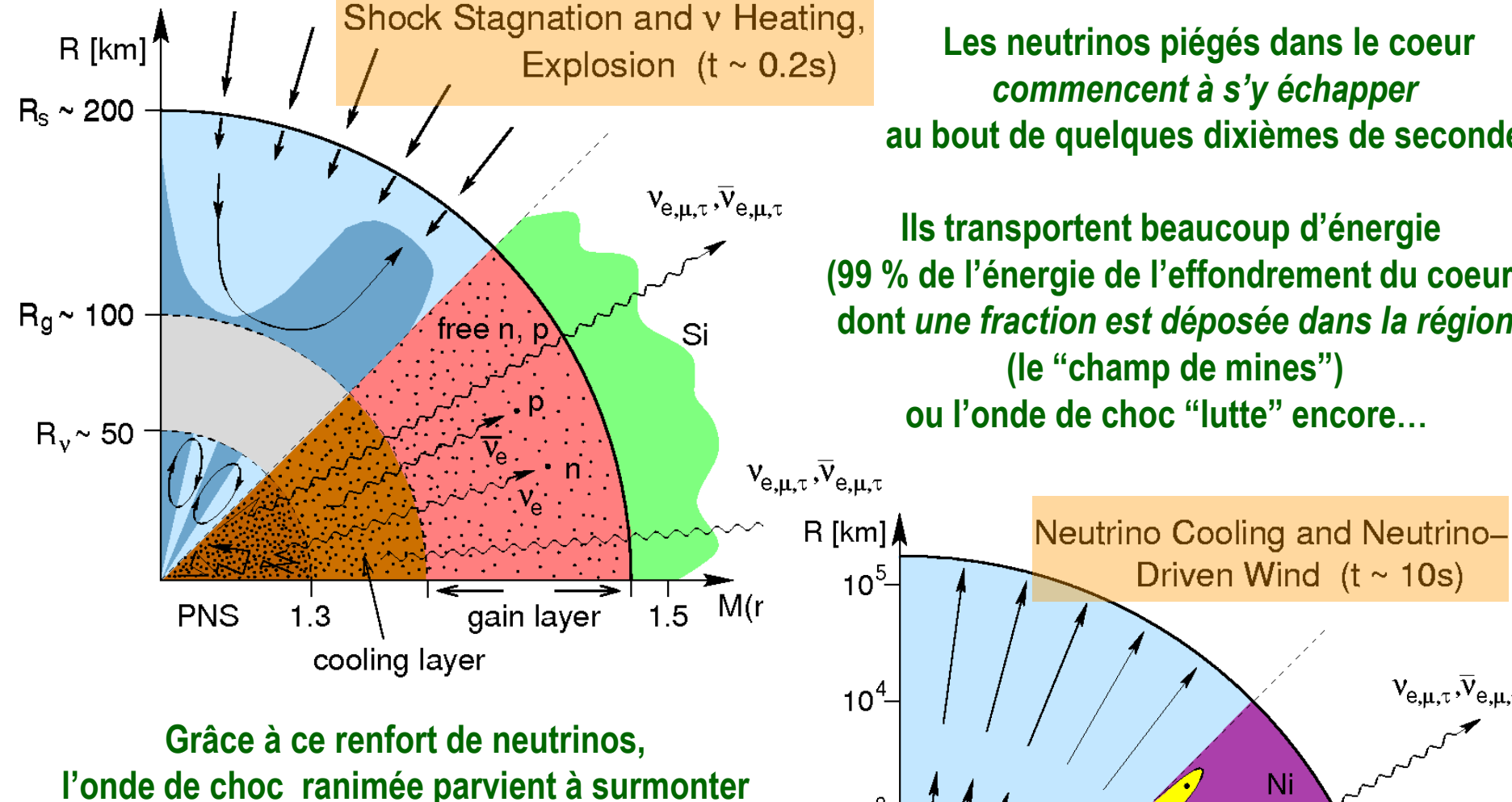
Si le coeur stellaire est assez petit (i.e. une étoile de masse initiale 10-11 M_{SOLEIL}) l'onde de choc parvient à faire exploser l'étoile (*Explosion rapide*)



L'enveloppe est expulsée et un résidu compact (étoile à neutrons) reste au centre

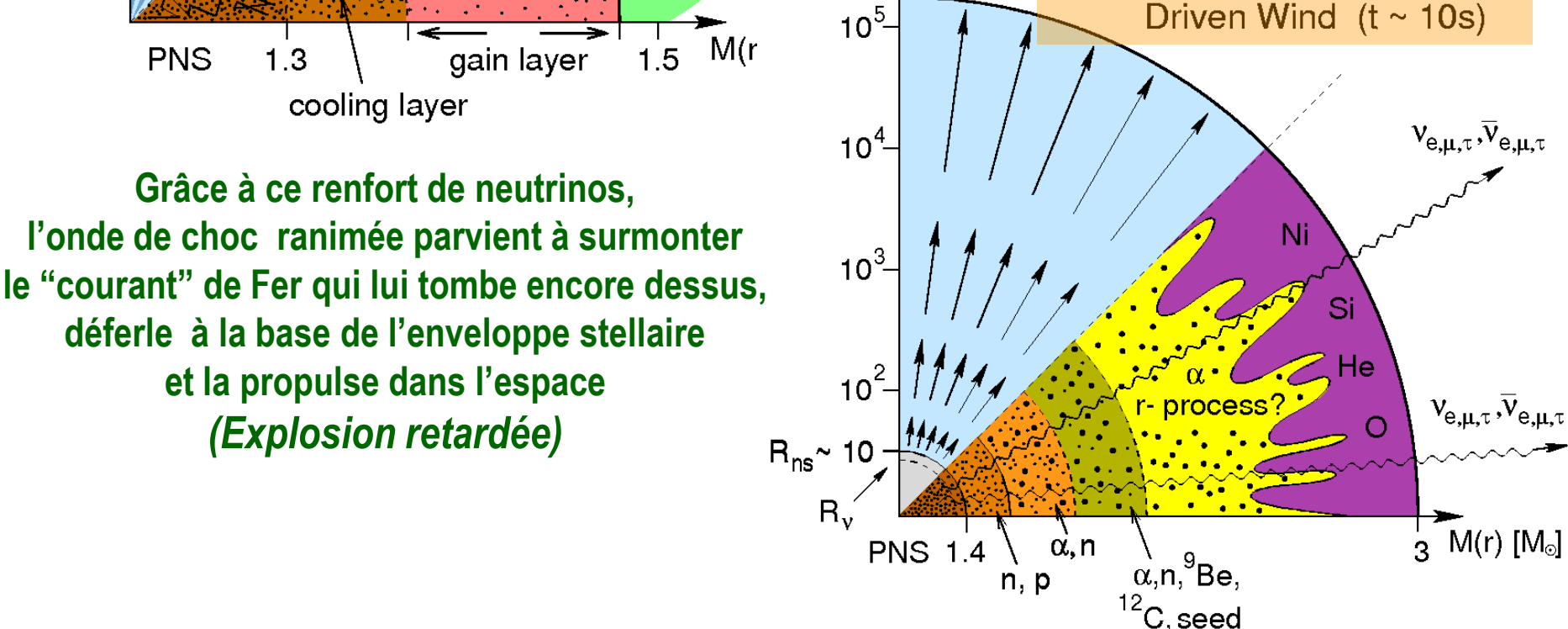
Mais cela concerne très peu d'étoiles massives.

Comment font les autres ? TROUS NOIRS ? NON!

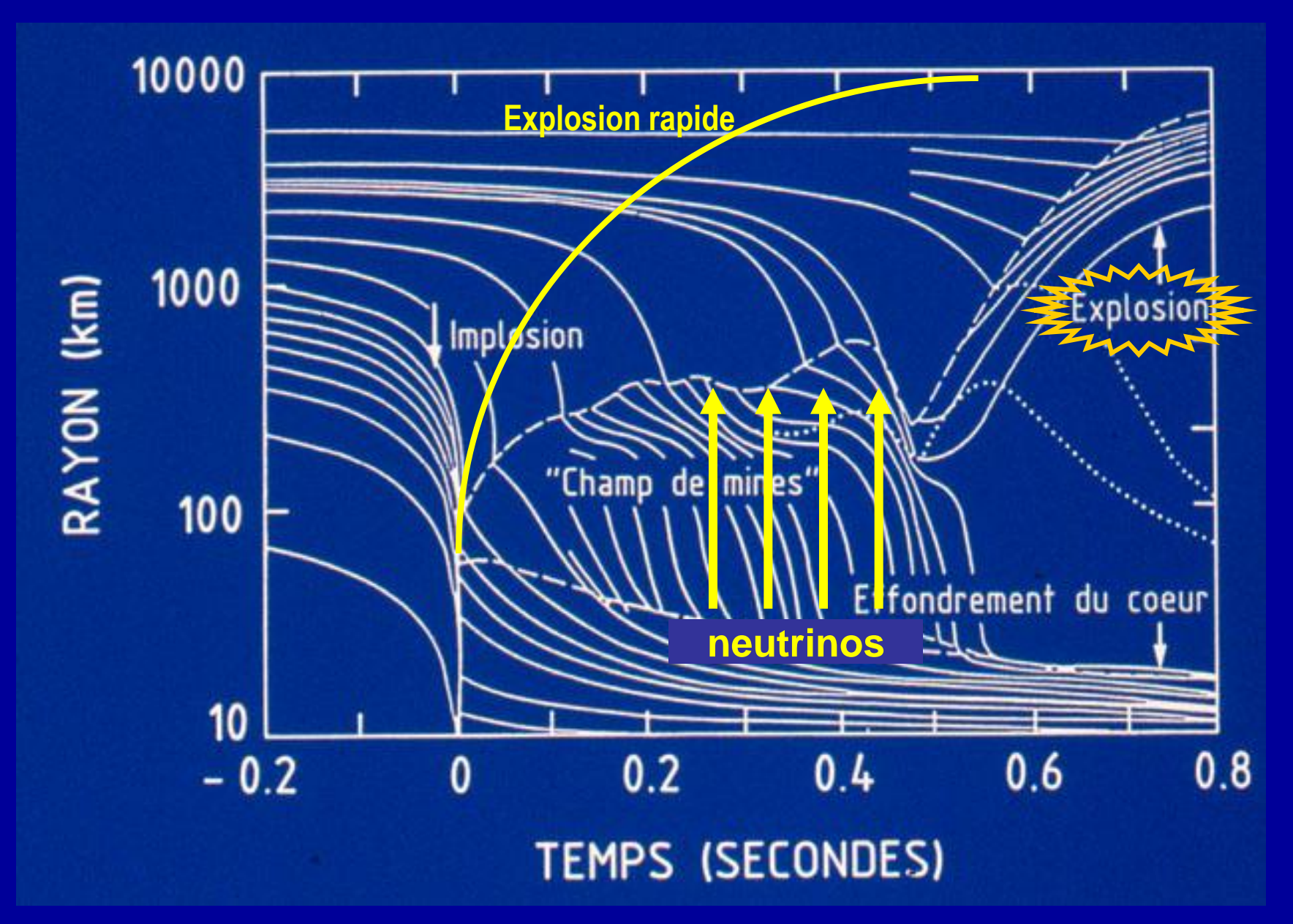


Les neutrinos piégés dans le coeur commencent à s'y échapper au bout de quelques dixièmes de seconde

Ils transportent beaucoup d'énergie (99 % de l'énergie de l'effondrement du coeur) dont une fraction est déposée dans la région (le "champ de mines") ou l'onde de choc "lutte" encore...



L'explosion retardée des supernovae



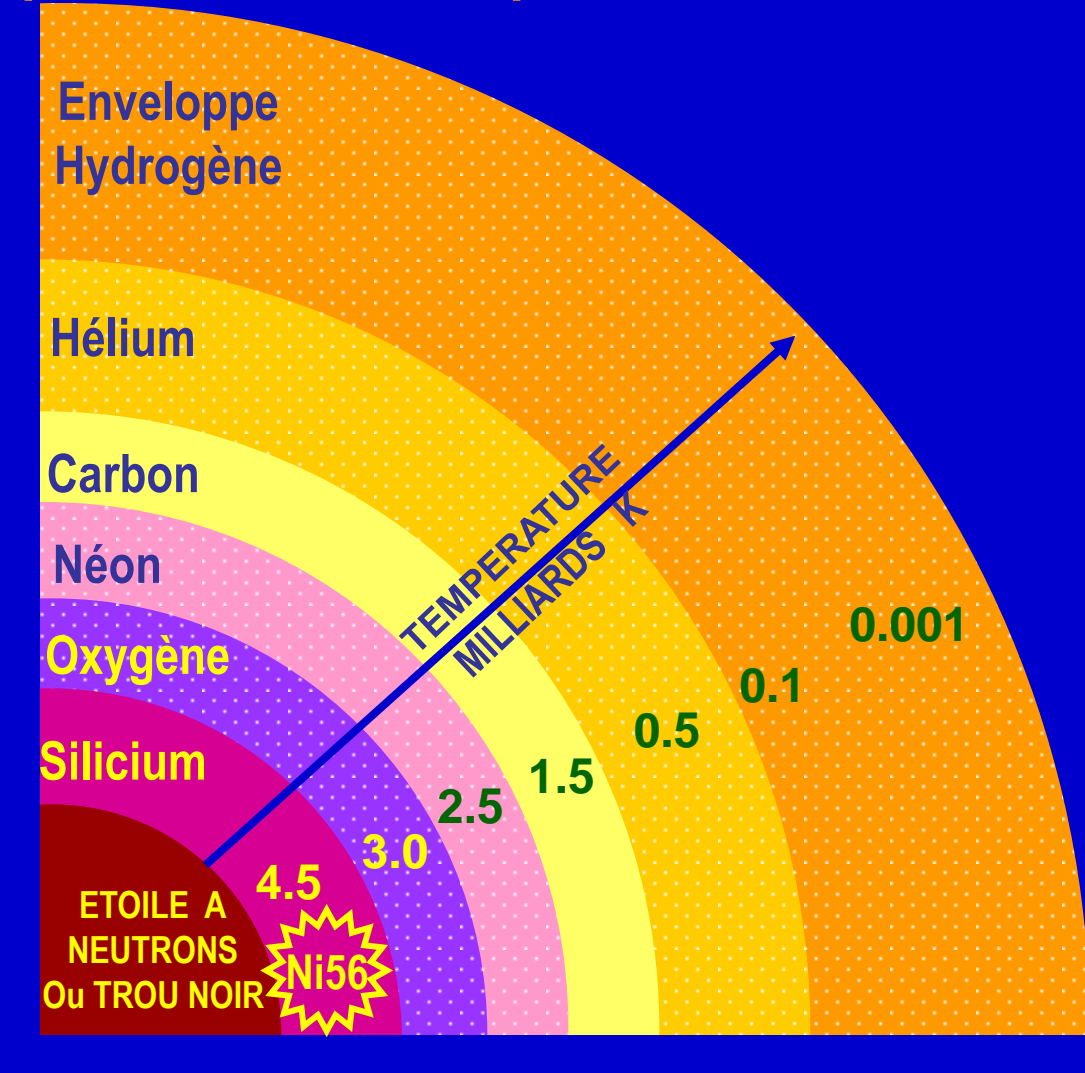
Ca ne semble pas marcher non plus...

La nucléosynthèse explosive dans les supernovae

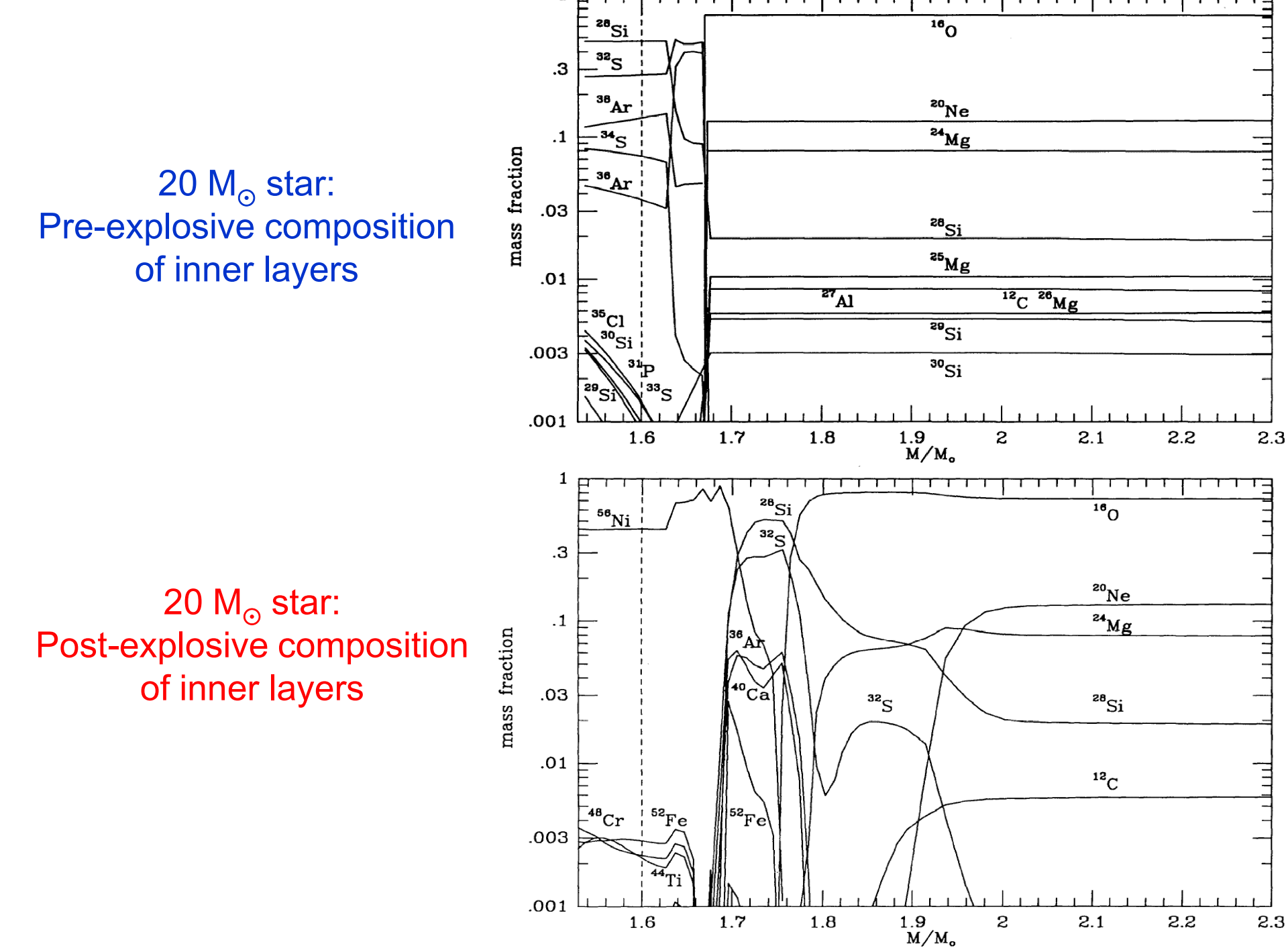
Si l'explosion réussit,
l'onde de choc se propage
dans l'enveloppe stellaire
et chauffe les diverses
couches à de températures
de combustion
nucléaire explosive

Les produits de nucléosynthèse calme et explosive sont éjectés dans le milieu interstellaire

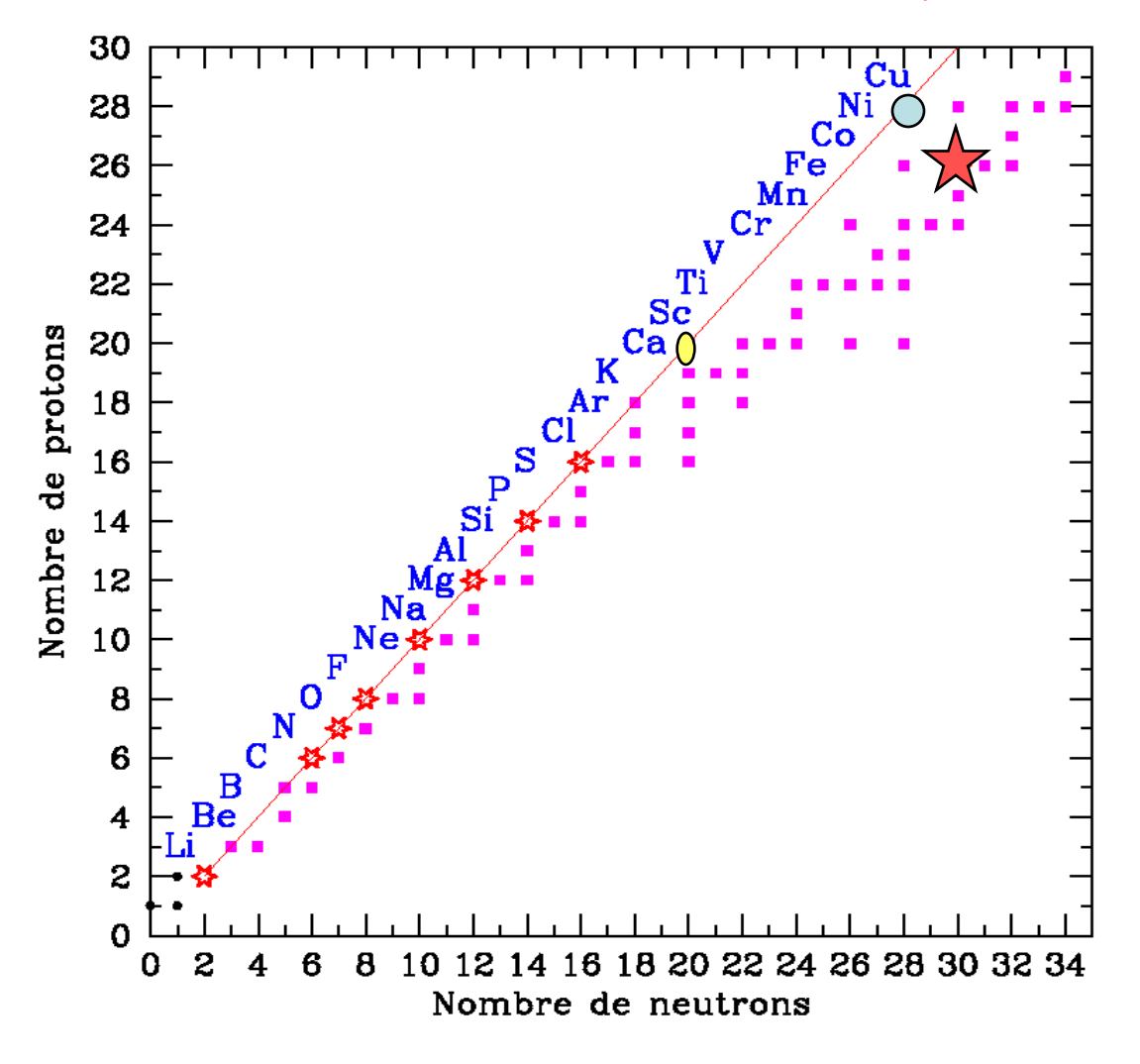
Les supernovae sont les chefs-alchimistes (les principaux sites de nucléosynthèse) dans l'Univers



Le noyau stable Fe-56 est produit sous la forme instable (radioactive) de Ni-56 :
Ni-56 → Co-56 → Fe-56



THE WAY TOWARDS NSE (Nuclear Statistical Equilibrium)

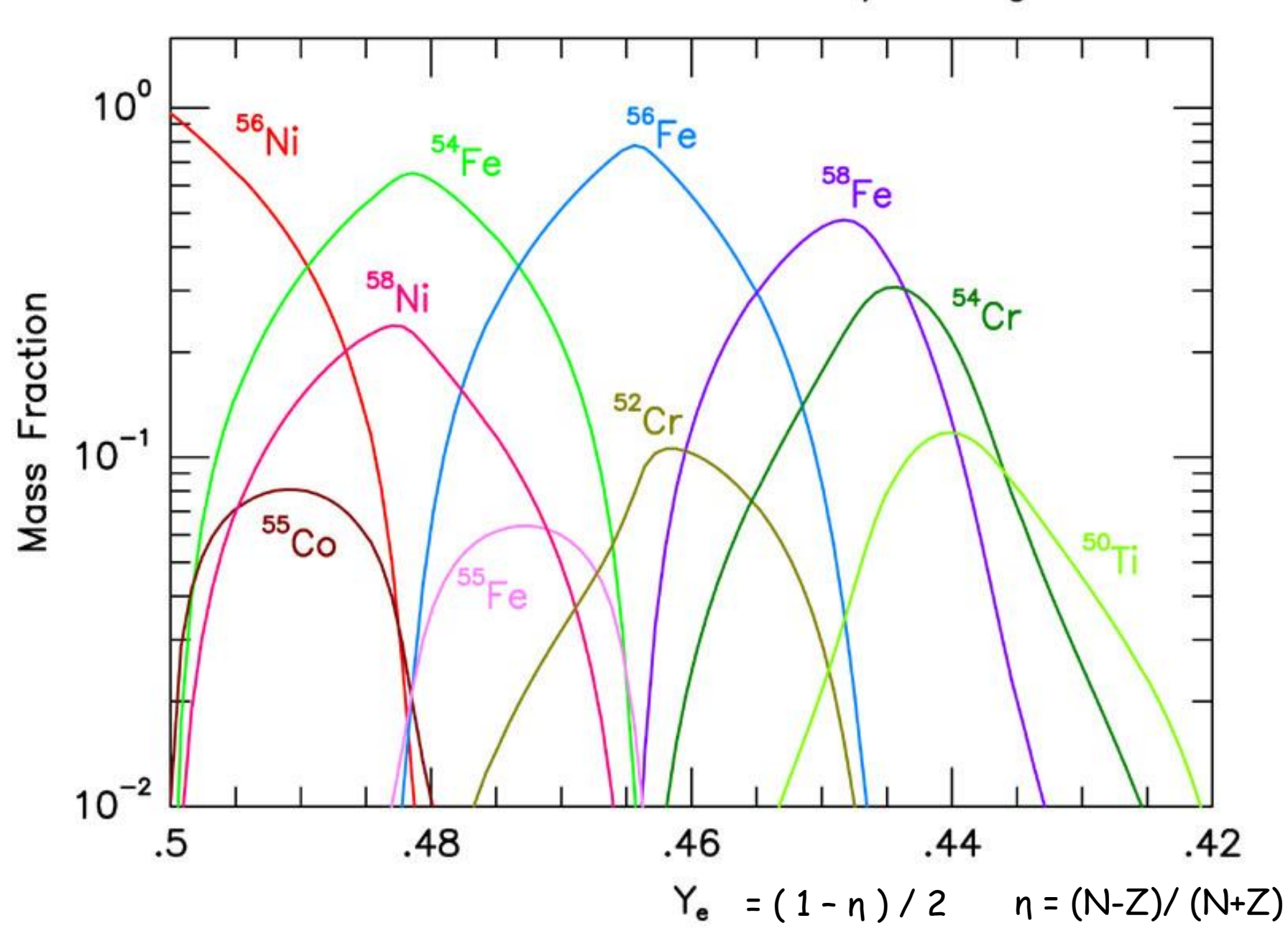


Ca40 is the last stable nucleus with N=Z on the way of Si-melting towards NSE

In the stellar core
weak interactions shift
the neutron excess
towards $\eta \sim 0.05 - 0.10$ and Fe56 dominates
the NSE composition

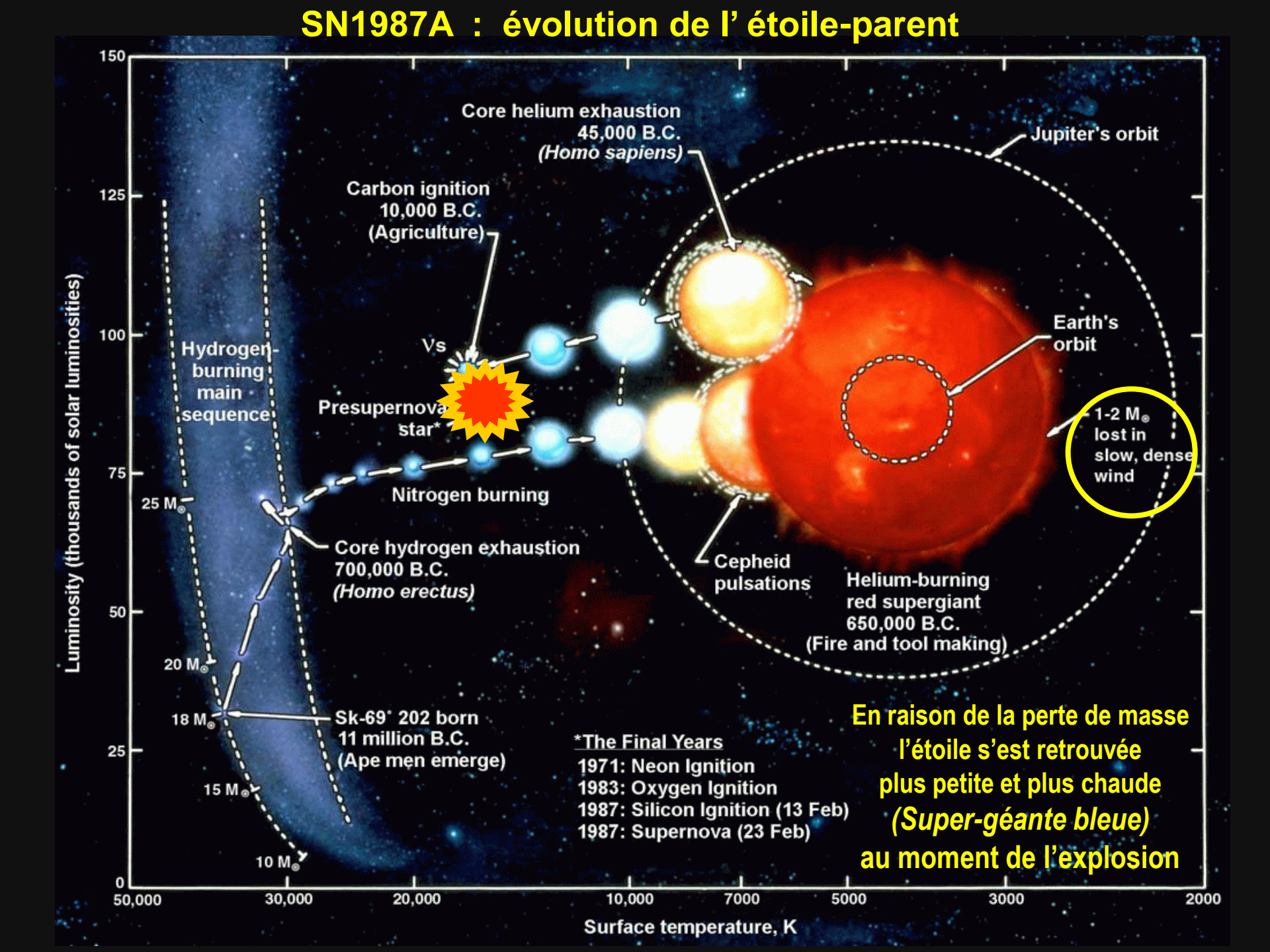
Note : in explosive nucleosynthesis, weak interactions have no time to operate and η remains close to 0. Ni56 dominates the NSE composition

NSE Distributions at T=3.5e9 K ρ =1e7 g cm $^{-3}$





L'étoile parent était une Super-géante bleue (rayon : ~40 Rayon sol.) et non pas une Super-géante rouge (rayon: ~1000 Rayon sol.). POURQUOI ?

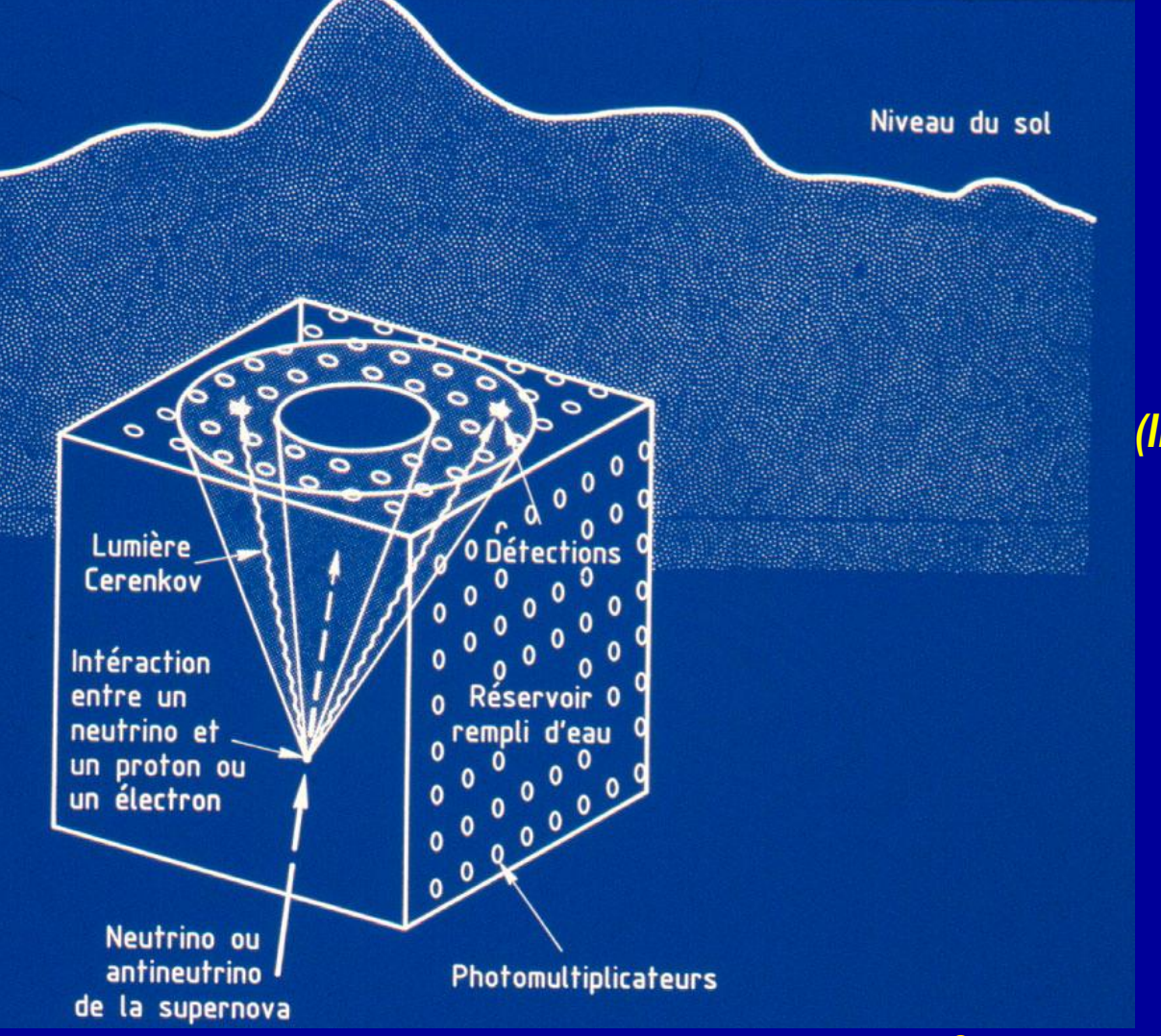


Détecteur de Neutrinos Kamiokande (Japon) 2000 tonnes d'eau

Il a détecté une poignée
de neutrinos
2h20 avant
l'apparition de
la supernova

C'est le temps que l'onde de choc a mis pour atteindre la surface de la supergéante bleue (à 3000 km/s)





Parmi les trillions de neutrinos
qui ont traversé la Terre
du Sud au Nord
le 23 Février 1987,
une vingtaine ont été captés
par deux détecteurs dans
l'hémisphère Nord
(IMB aux USA et Kamioka au Japon)
pendant Dt ~ 10 secondes

Energie totale de neutrinos de SN1987A :

 $E_{v} = 3 \cdot 10^{53} \text{ ergs}$

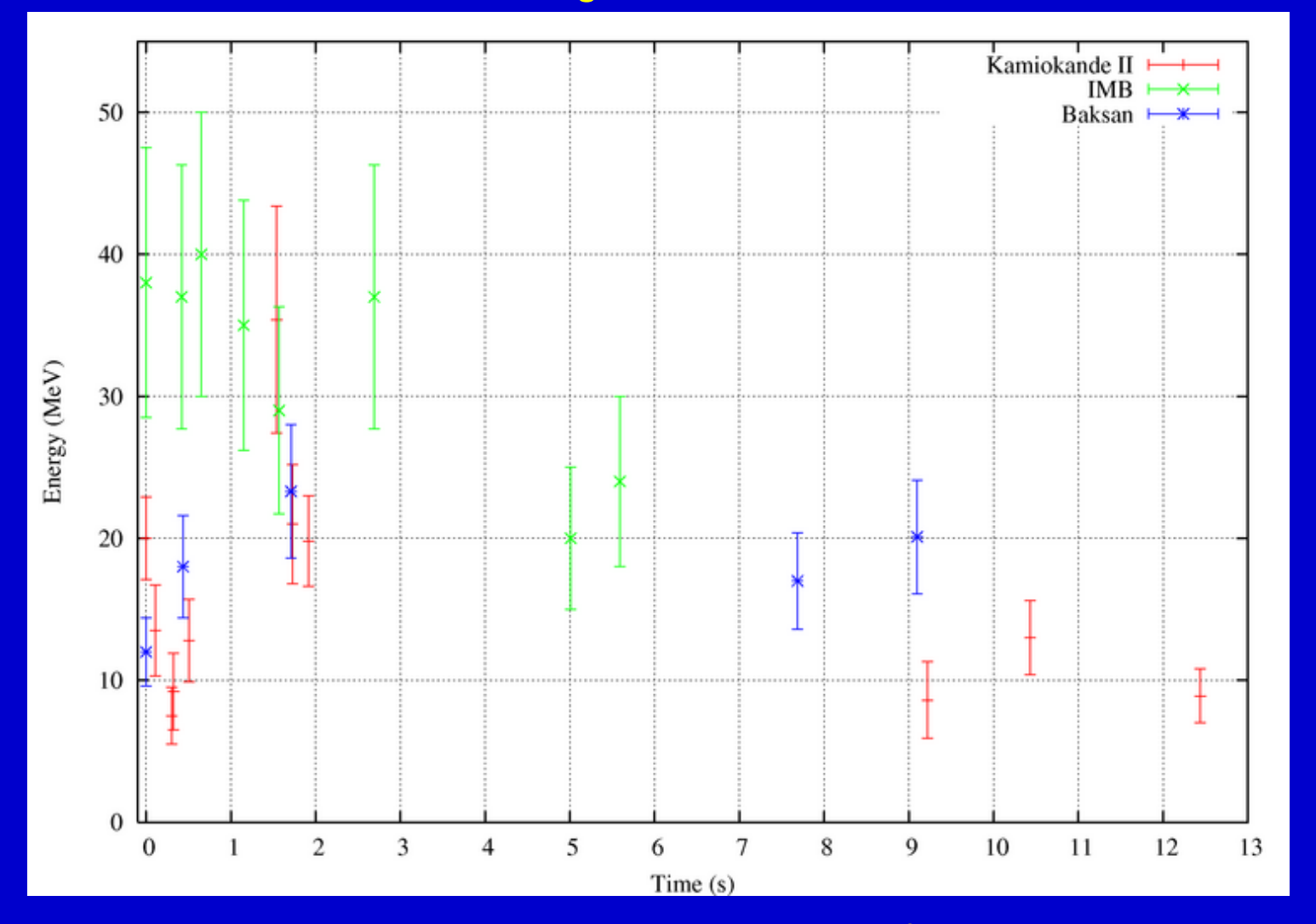
10 000 fois supérieure à l'énergie lumineuse

Cette énergie est égale à l'énergie E_{GRAV} ~ G M²/R liberée quand une masse M = M_{SOLEIL} s'effondre jusqu'à un rayon R=10 km (étoile à neutrons)

Confirmation éclatante de l'intuition de Zwicky

Luminosité neutrinique : $L_v = E_v / Dt = 3 \cdot 10^{52}$ erg/s ($L_{SOLEIL} = 4 \cdot 10^{33}$ erg/s) Autant que toutes les étoiles dans l'Univers observable

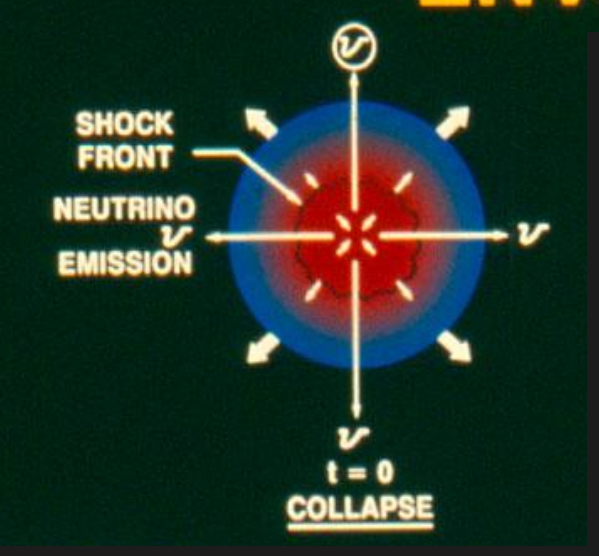
Neutrinos de SN1987A: une vingtaine de neutrinos ont été détectés en ~10 s



Durée de l'émission: pas de trou noir formé

Température de "neutrinosphère" de la supernova : 100 milliards de degrés Mais pas d'information sur le rôle de neutrinos dans l'explosion

TYPE II SUPERNOVA ENVELOPE EVOLUTION

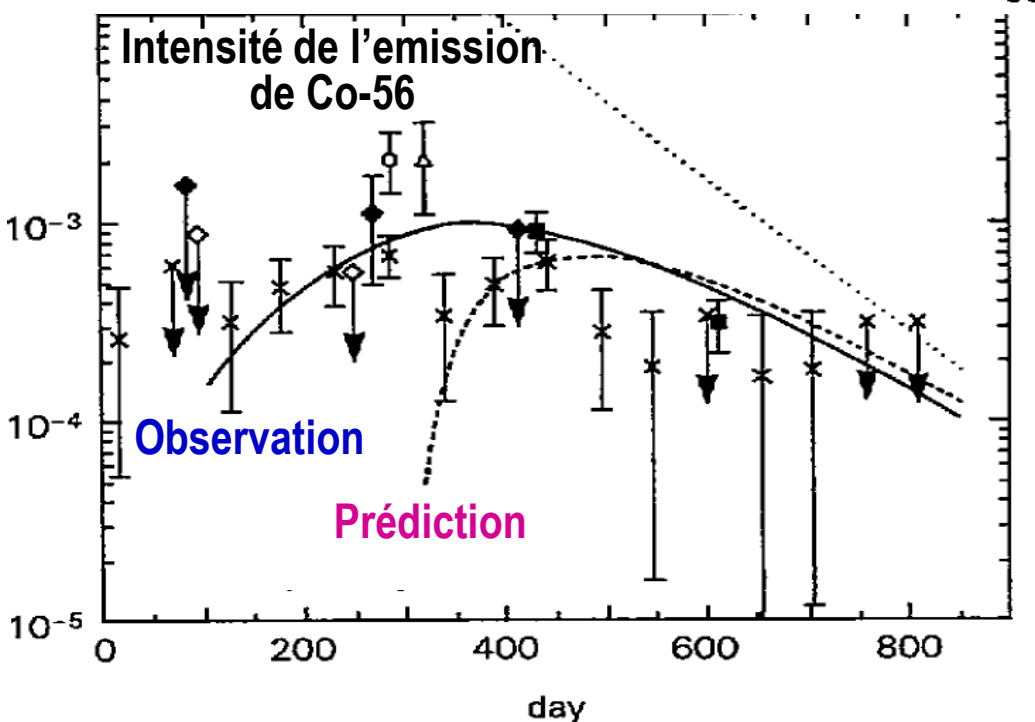


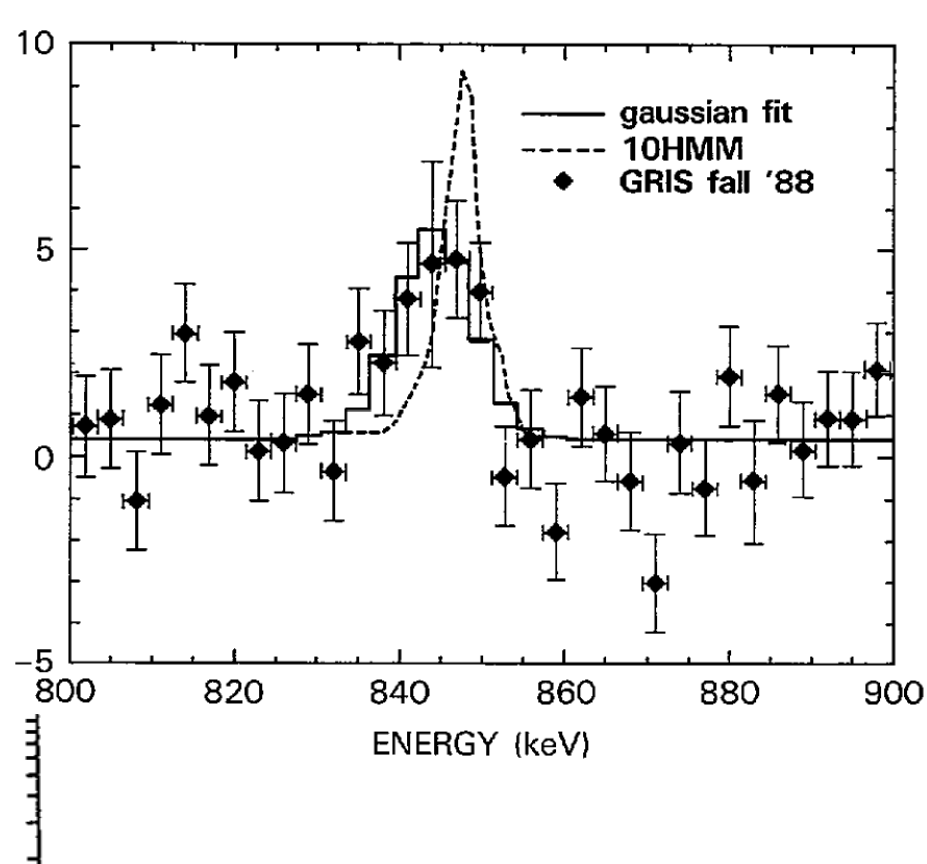
La raie gamma du Cobalt-56 a été vue dans SN1987A (une première !)

Confirmation de la nucléosynthèse explosive

photons cm $^{-2}$ s $^{-1}$ keV $^{-1}$ ×10 5

Ni-56 → Co-56 → Fe-56 8.8 jours 113 jours



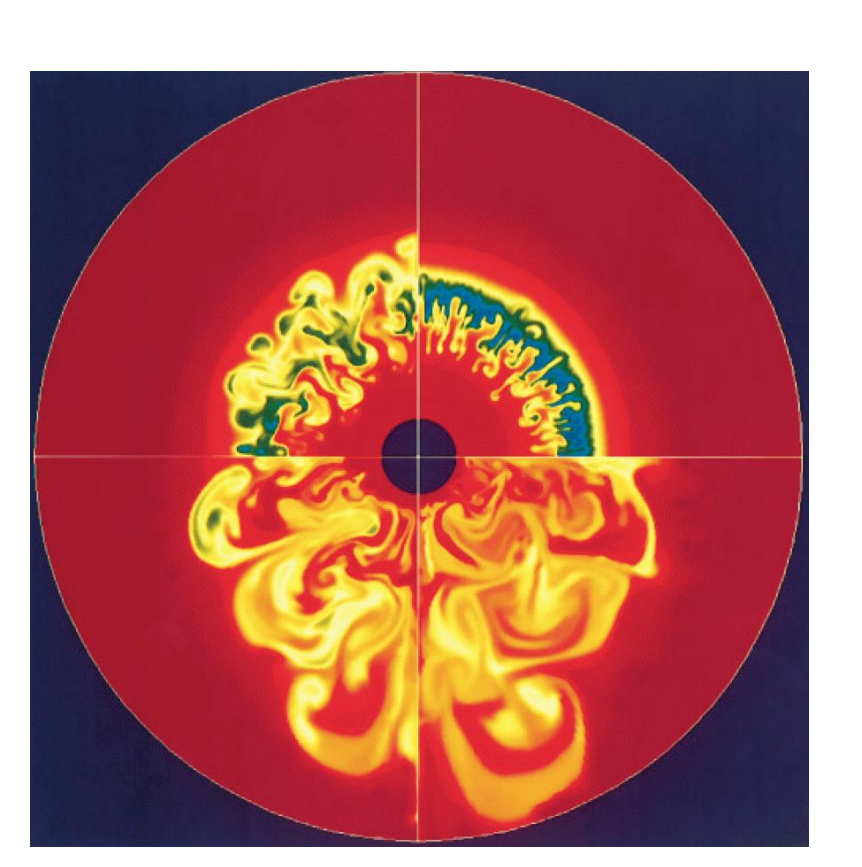


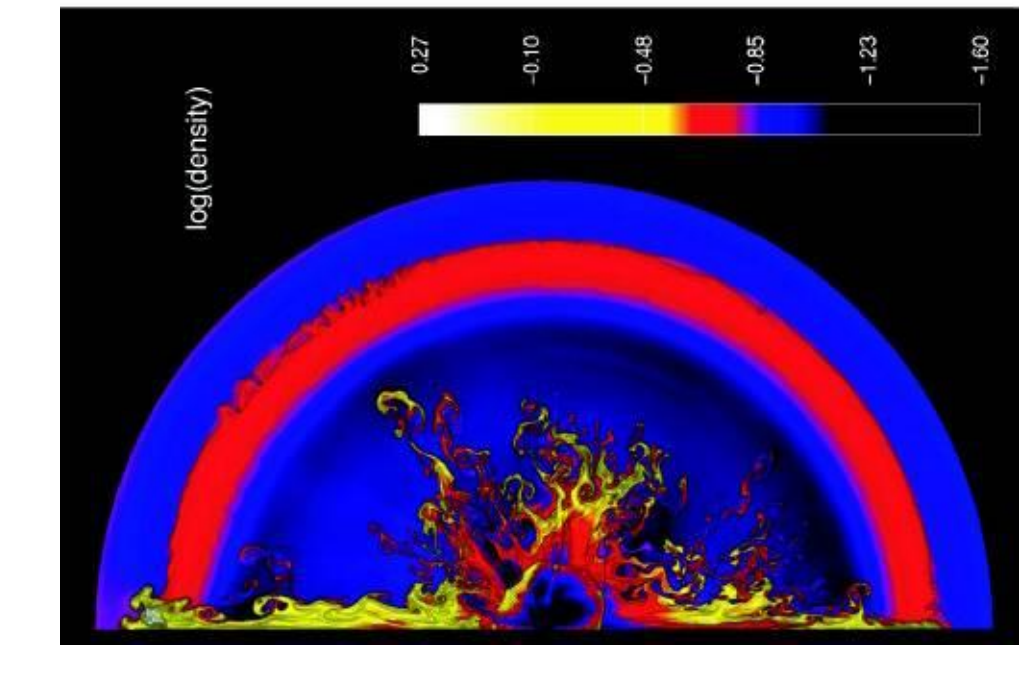
Mais... elle a été vue

Six mois plus tôt que prévu

par les modèles!

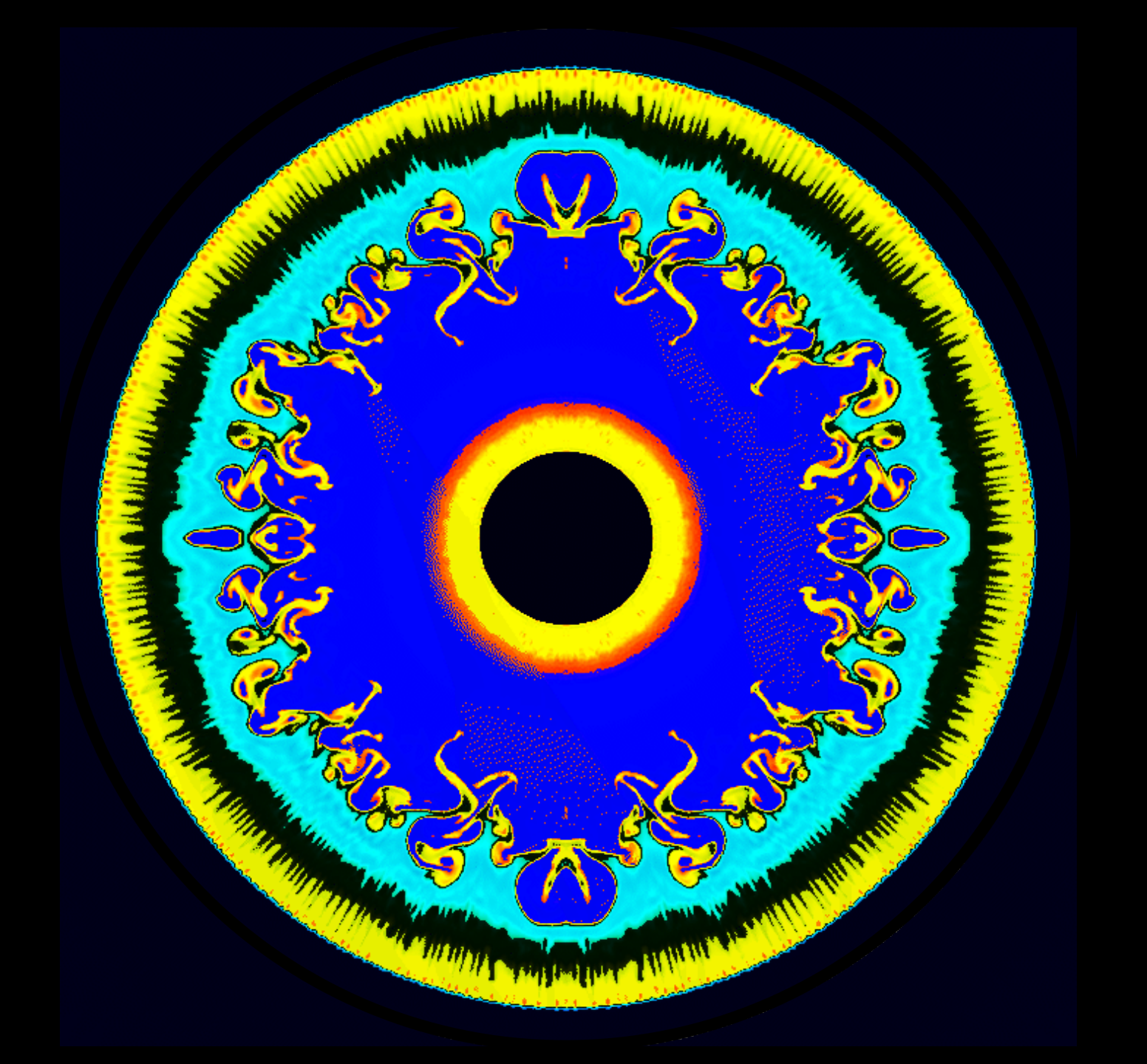
Lors de l'explosion, d'importantes instabilités hydrodynamiques se produisent au sein de la supernova





Ces instabilités *mélangent l'intérieur*, et de noyaux atomiques lourds, produits près du coeur (e.g. Nickel-56) se trouvent *près de la surface*.

Les photons gamma de leur radioactivité peuvent ainsi sortir plus facilement de l'intérieur de la supernova

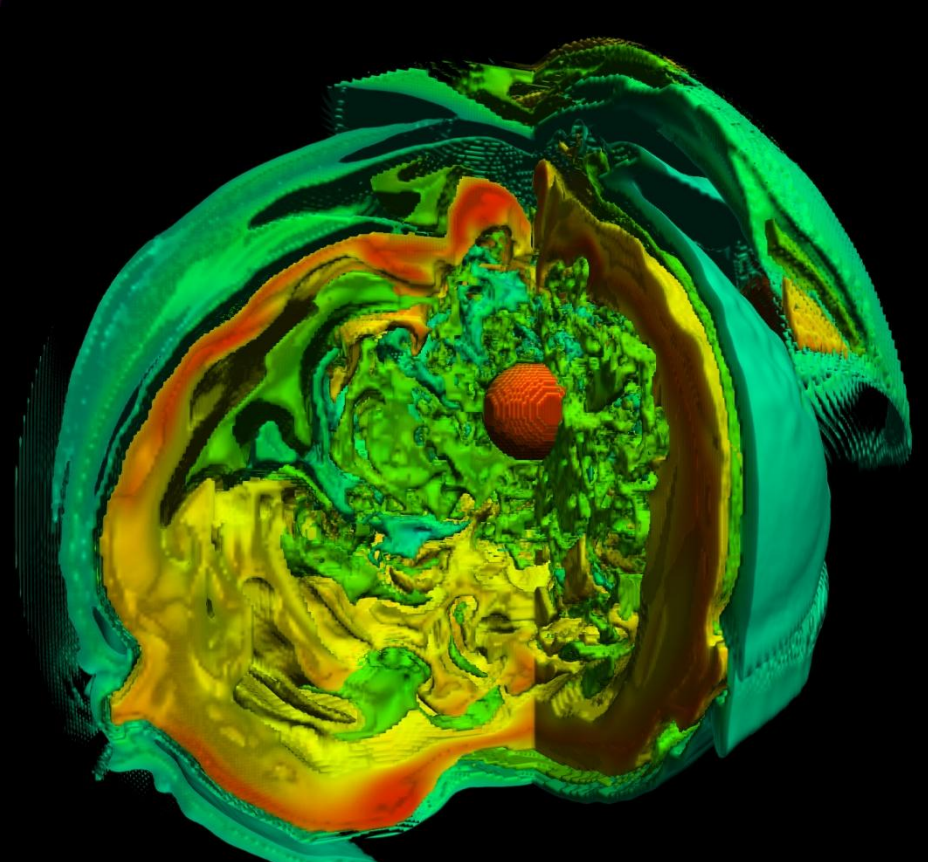


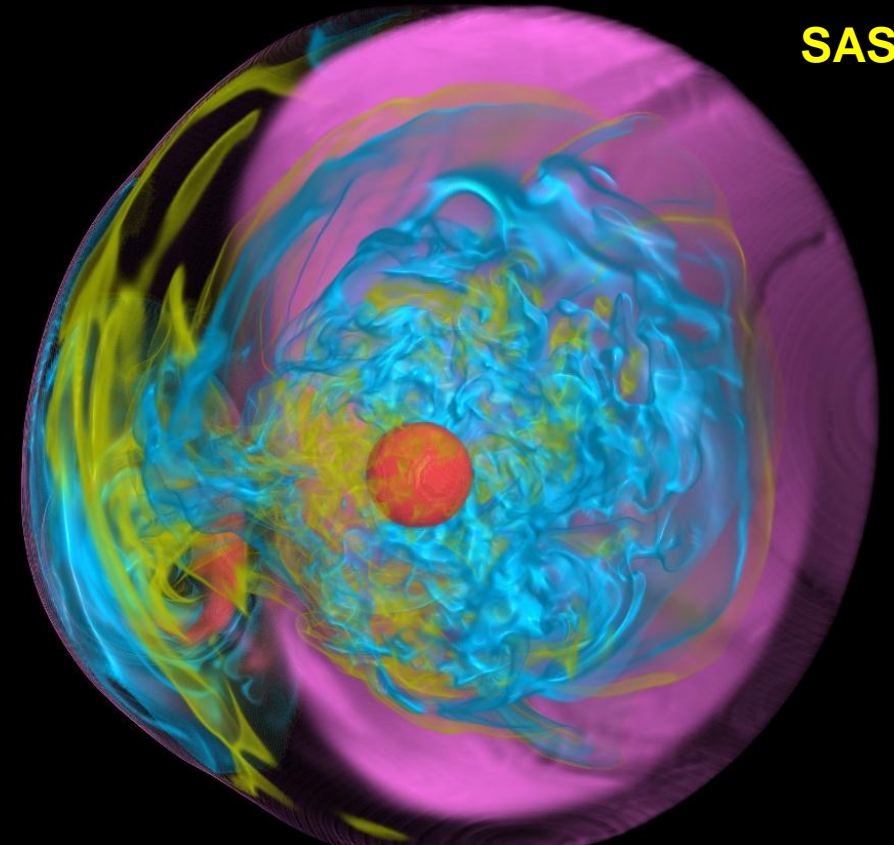
Explosion du coeur d'une étoile massive (K. Kifonidis, Max Planck Institut, Munchen)

1 sec

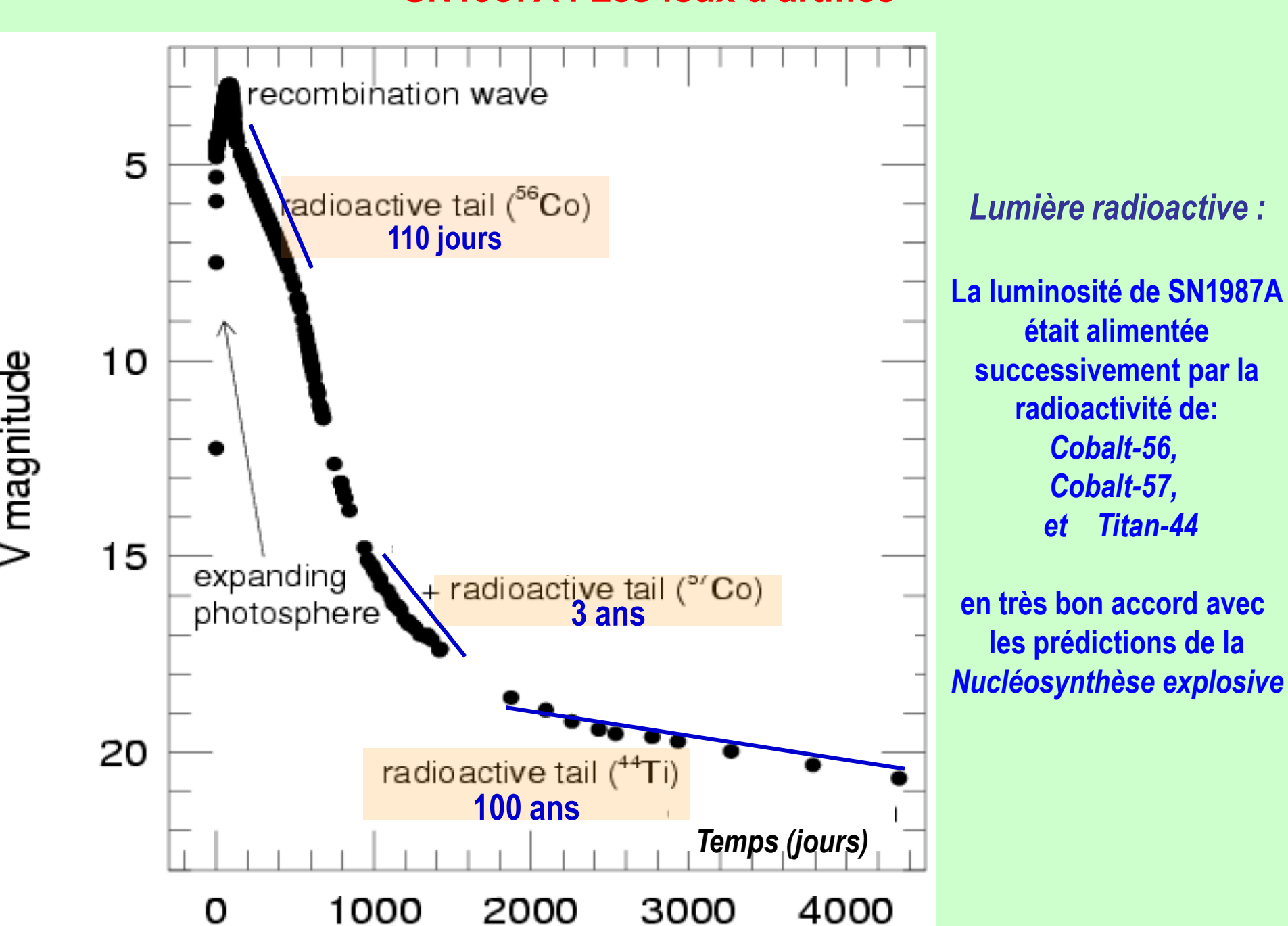


Joue peut-etre un role important dans les explosions des SN





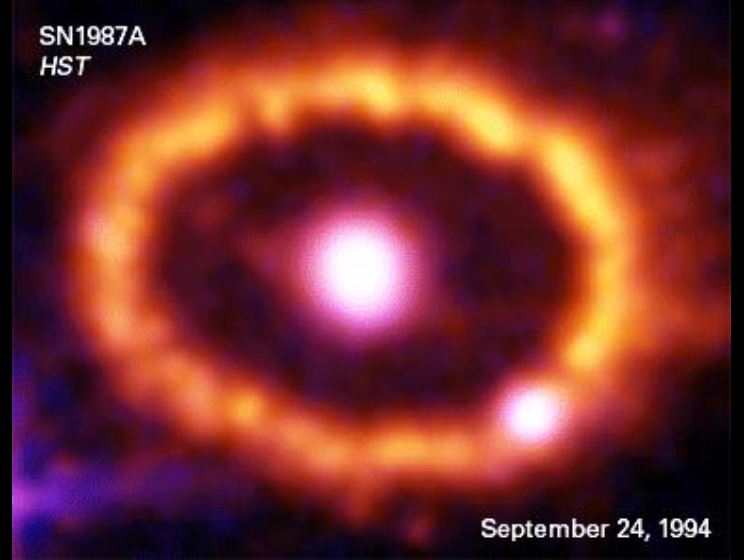
SN1987A: Les feux d'artifice



SN1987A: le seigneur des anneaux



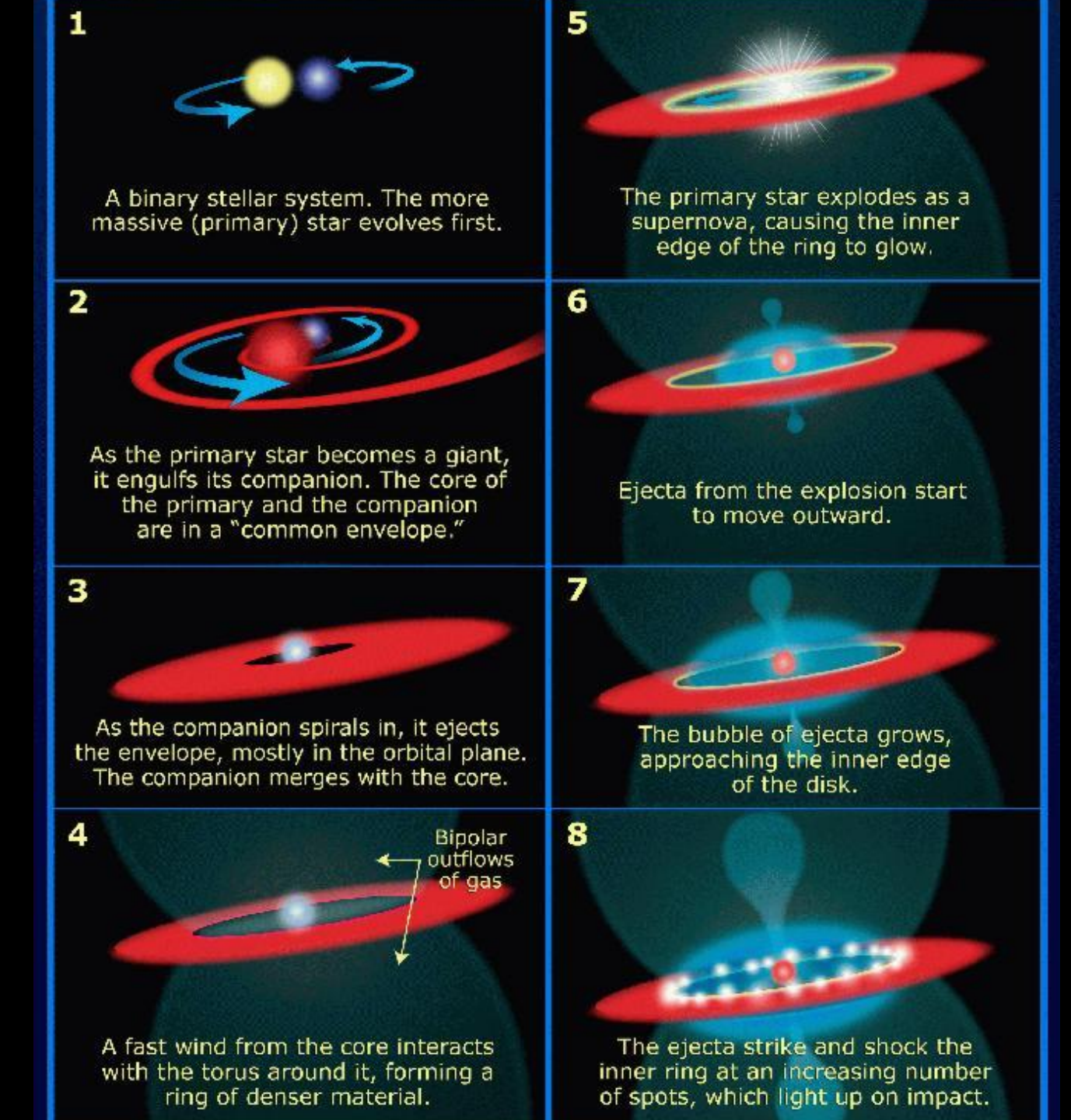
La lumière UV de SN1987A illumine l'anneau et les lobes de matière perdue par l'étoile par vents stellaires (ou système binaire ?) environ 20 000 ans avant l'explosion

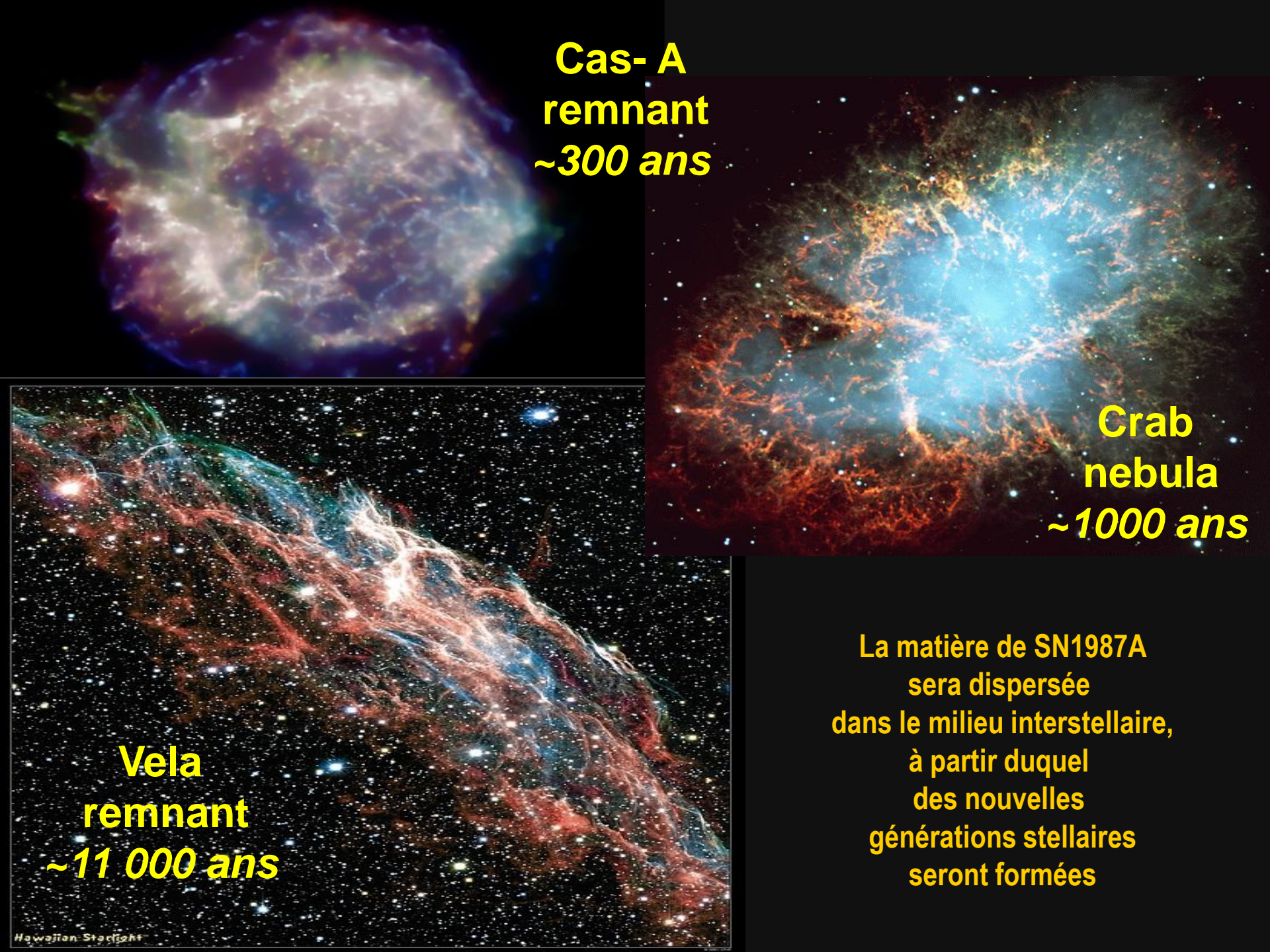


Quelques années plus tard les couches externes de SN1987A projetées à 30 000 km/s, frappent aussi l'anneau, qui se met à rayonner



A binary system for the progenitor of SN1987A?

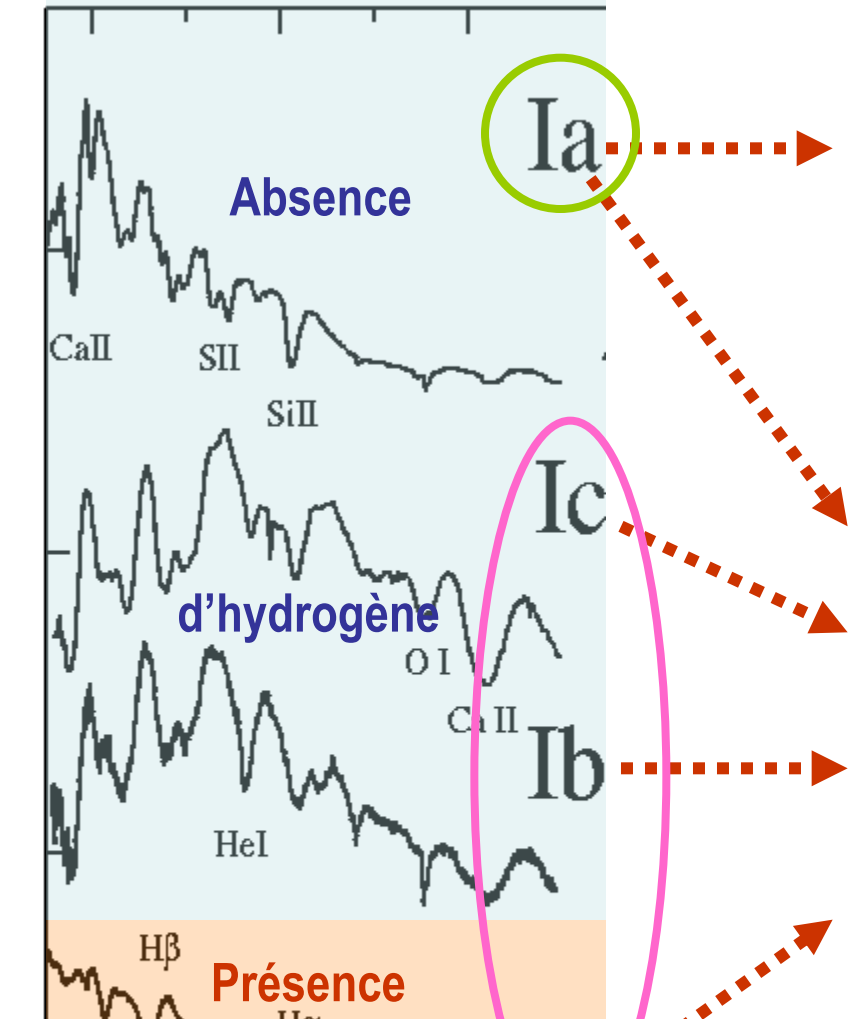




Supernova spectra

Galaxie - hôte

Mécanisme d'explosion



d'hydrogène

Longeur d'onde (Angstrom)

8000

6000

4000

Etoiles petites et vieilles seulement

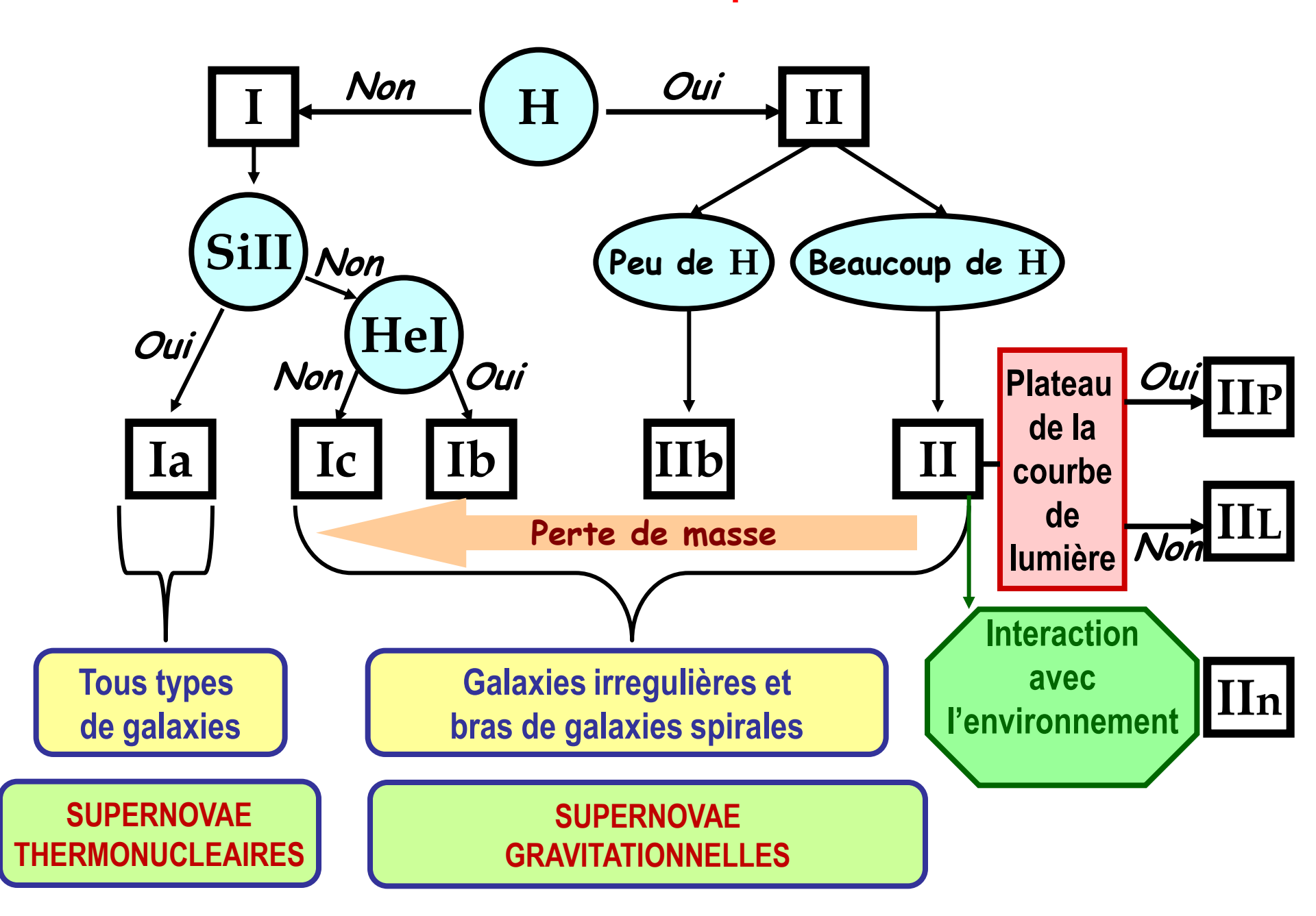
SNIa:

Explosion
thérmonucléaire
d'une
Naine Blanche



SNII, SNIb,c:
Explosion par
effondrement
gravitationnel
du coeur d'une
étoile massive
avec (SNII)
ou sans (SNIb,c)
enveloppe d'hydrogène

Classification des supernovae



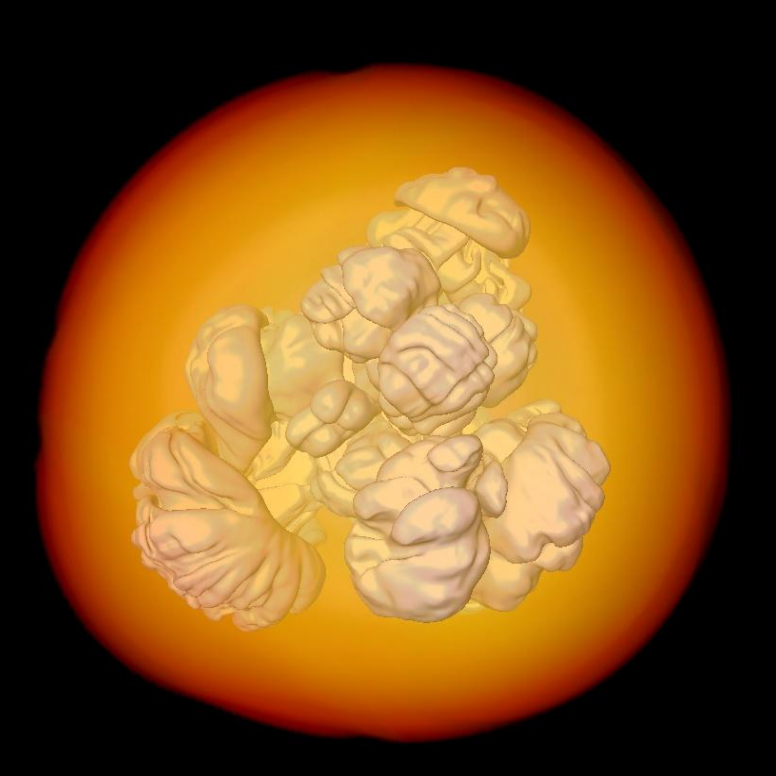
SUPERNOVAE THERMONUCLEAIRES

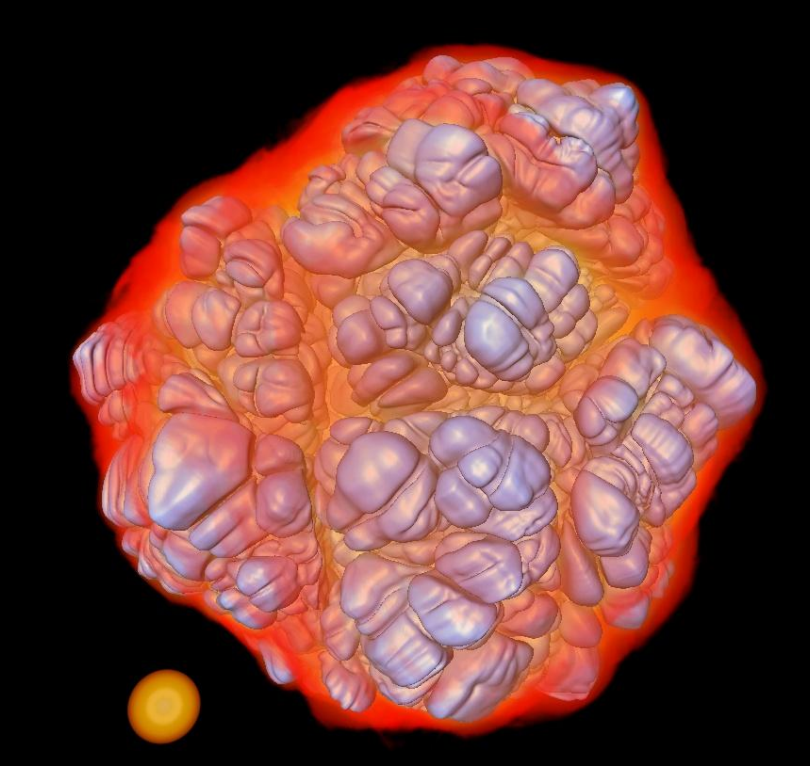
La masse de la Naine Blanche (composée de Carbone et Oxygène) augmente par accretion de matière de l'étoile-compagnon

Quand elle dépasse la masse-limite de Chandrasekhar (1.4 M_{SOLEIL}) la naine blanche s'effondre, sa température monte et les réactions thérmonucléaires s'emballent dans les régions centrales

La flamme thérmonucléaire se propage rapidement vers l'extérieur et en quelques secondes incinère la quasi-totalité de la naine blanche et propulse sa matière dans l'espace (pas de résidu)





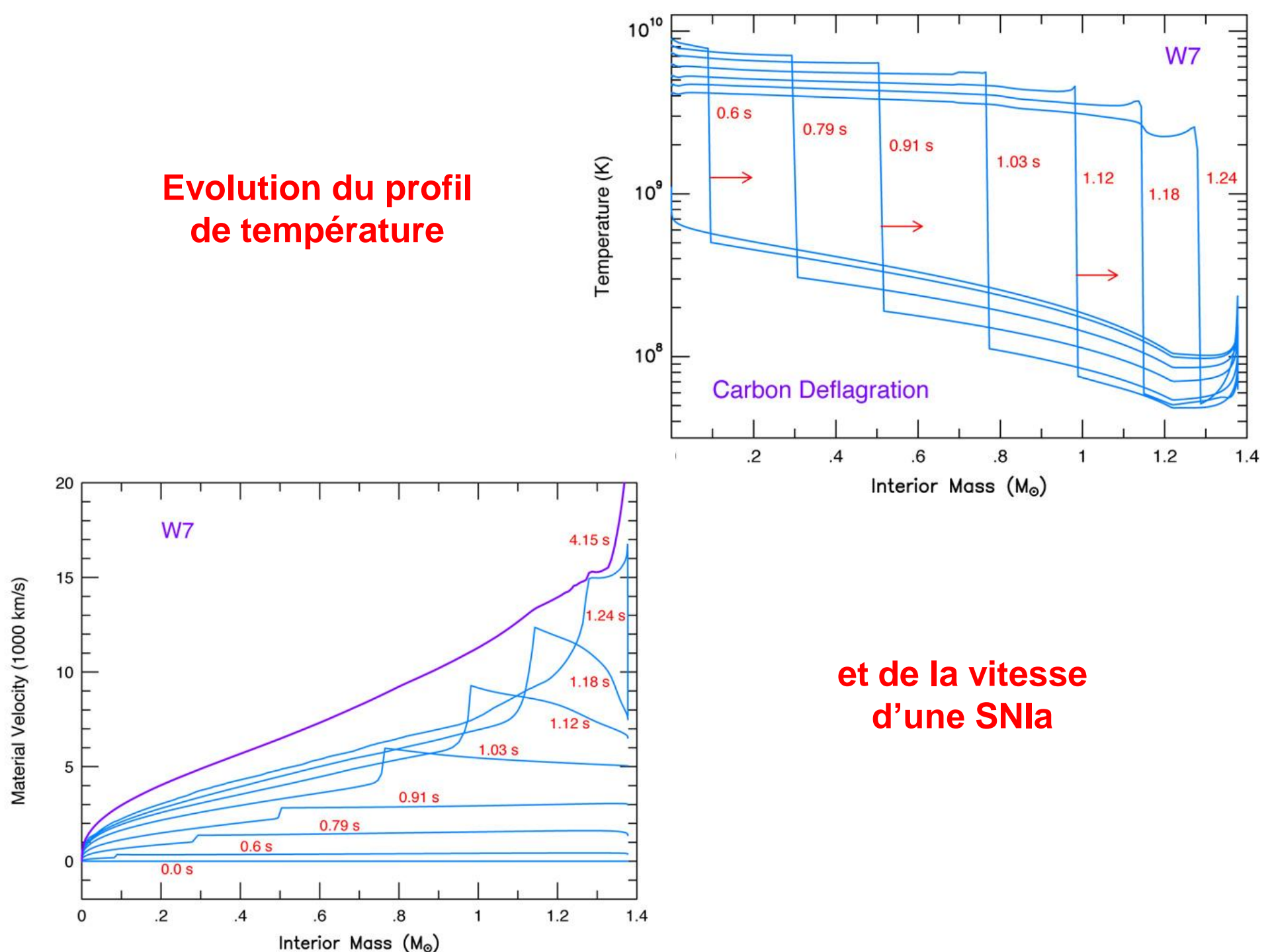


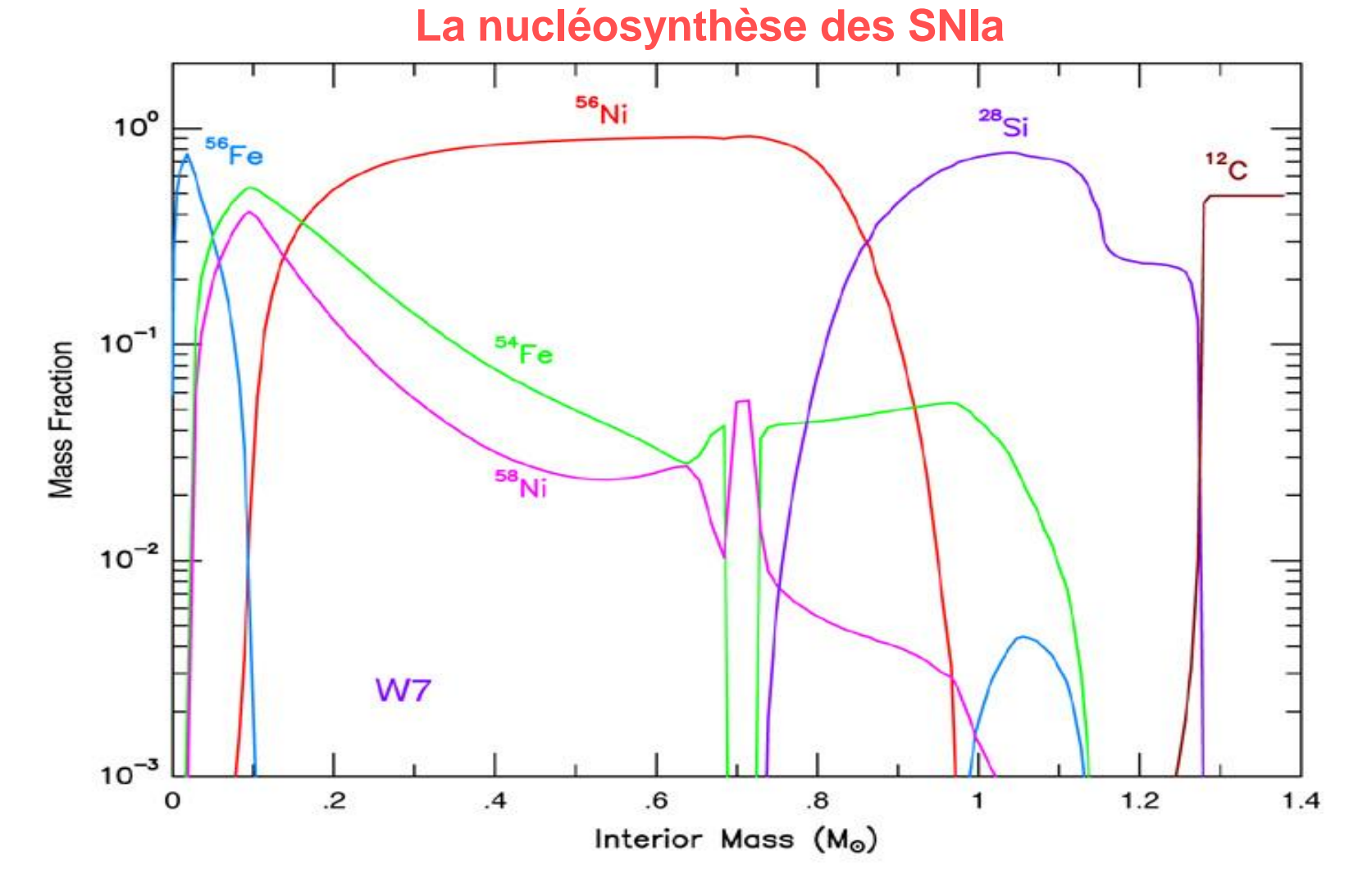
Thermonuclear Supernova Explosion





(c) Friedrich Röpke, MPA, 2004

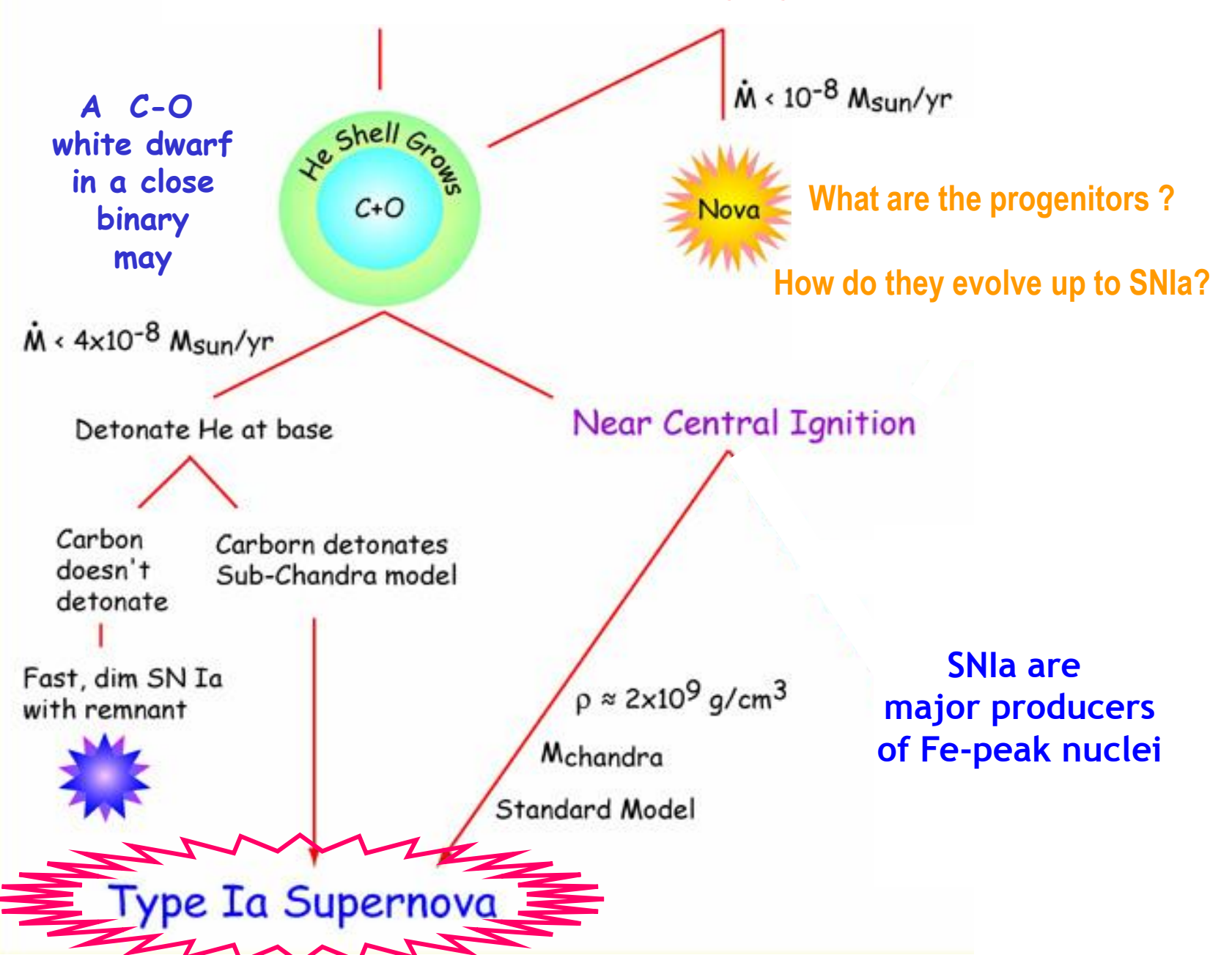




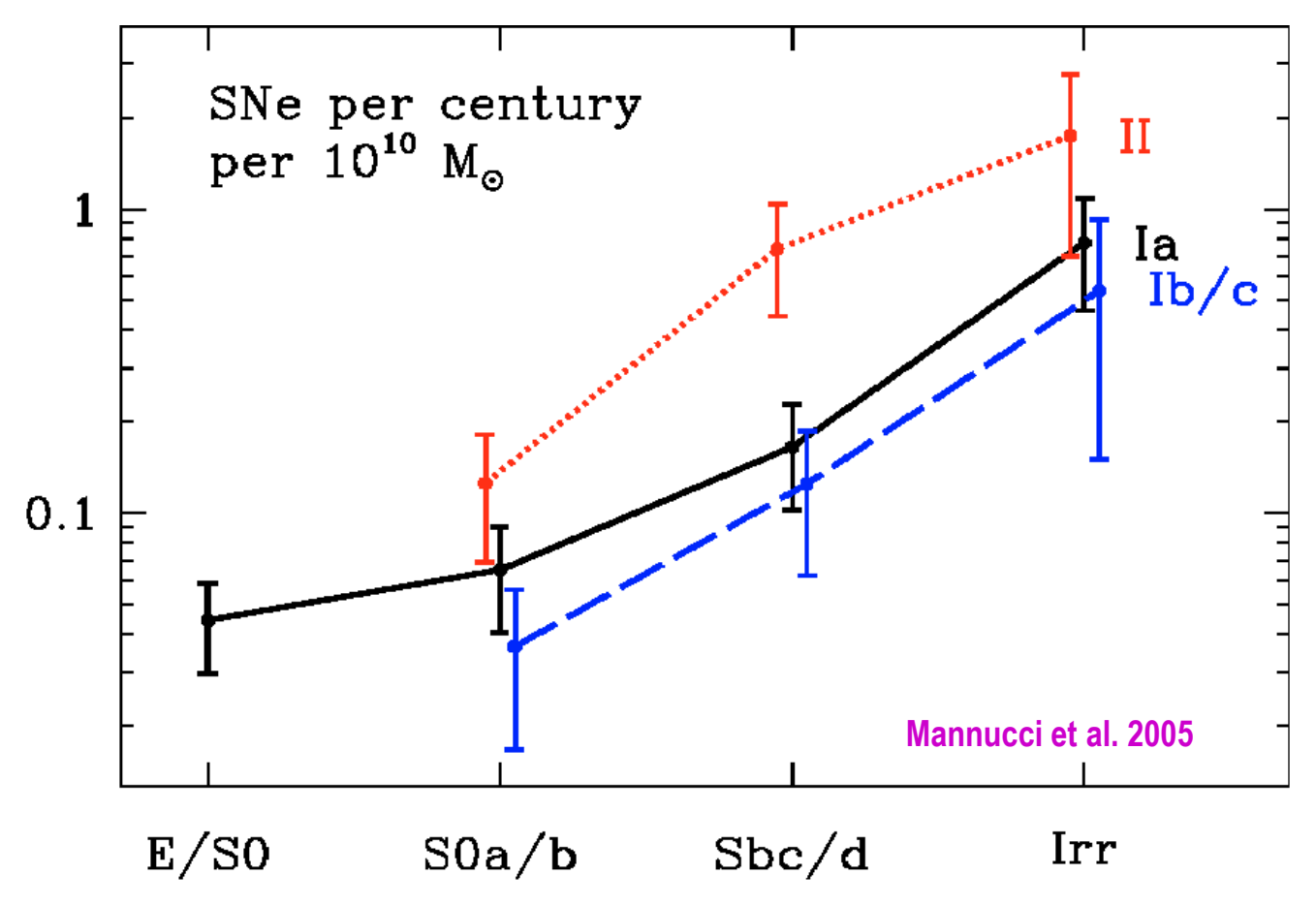
Environ la moitié de la masse de la Naine blanche se transforme en Ni-56 dont la radioactivité ($Ni-56 \rightarrow Co-56 \rightarrow Fe-56$) alimente l'émission lumineuse de la supernova

Energie dégagée: $E_{NUCL} = \Delta E \times 0.5 M_{CH} \times N_A \sim 10^{51} \text{ erg}$ $\Delta E = 0.8 \text{ MeV/Nucleon} \quad M_{CH} = 1,44 \text{ M} \odot \quad N_A = 6,023 \times 10^{23}$

Stellar explosions in binary systems



Fréquences et rôle de SNIa en Evolution Chimique Galactique



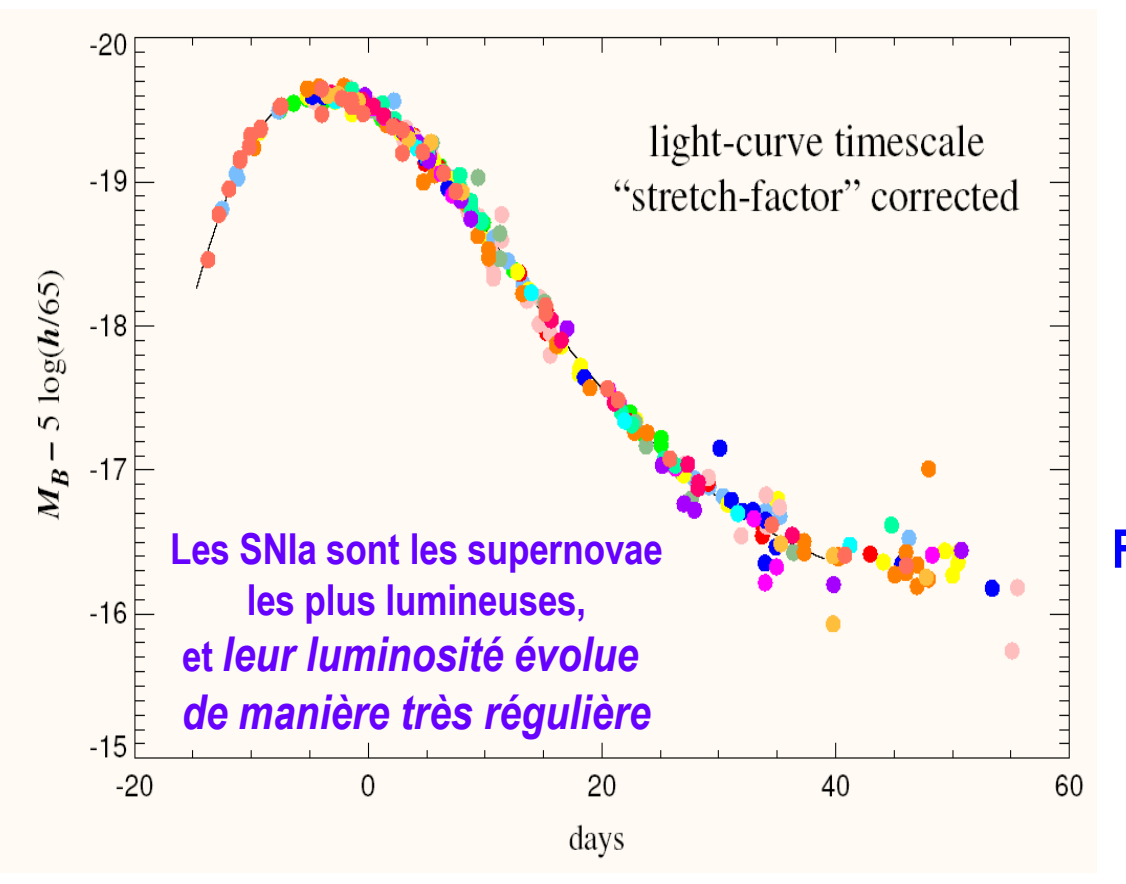
Les SNIa sont ~5 fois moins fréquentes que les SN gravitationnelles (SNII+SNIbc) dans une galaxie Sbc, comme la Voie Lactée

mais chaque SNIa produit ~10 fois plus de Fe qu'une SN_{GRAV}

Les SNIa produisent ~50-65 % du Fer Galactique

| | TYPE | SNI | SN II |
|--|-------------------------|---|---|
| | | | |
| | | SN1972e | SN1970g |
| | SPECTRE | call Mgl Nal Call absence d'hydrogène | H _Y Hβ Hα présence d'hydrogène |
| | TYPE «STANDARD» | SN Ia | SN II-P |
| | COURBE DE LUMIÈRE | 9 100 200 300 temps (jours) | magnitude 0 100 200 300 temps (jours) |
| | GALAXIE MÈRE | spirales elliptiques | spirales (bras) |
| | MODÈLE STANDARD | explosion thermonucléaire d'une naine blanche | effondrement du cœur d'une étoile massive |
| | ÉNERGIE | 0% neutrinos 10 ⁴⁴ joules 99% cinétique 1% lumière | 99% neutrinos 10 ⁴⁶ joules 19% cinétique 0,01% lumière |
| | RÉSIDU | RIEN | ÉTOILE À OU TROU NEUTRONS OU NOIR |

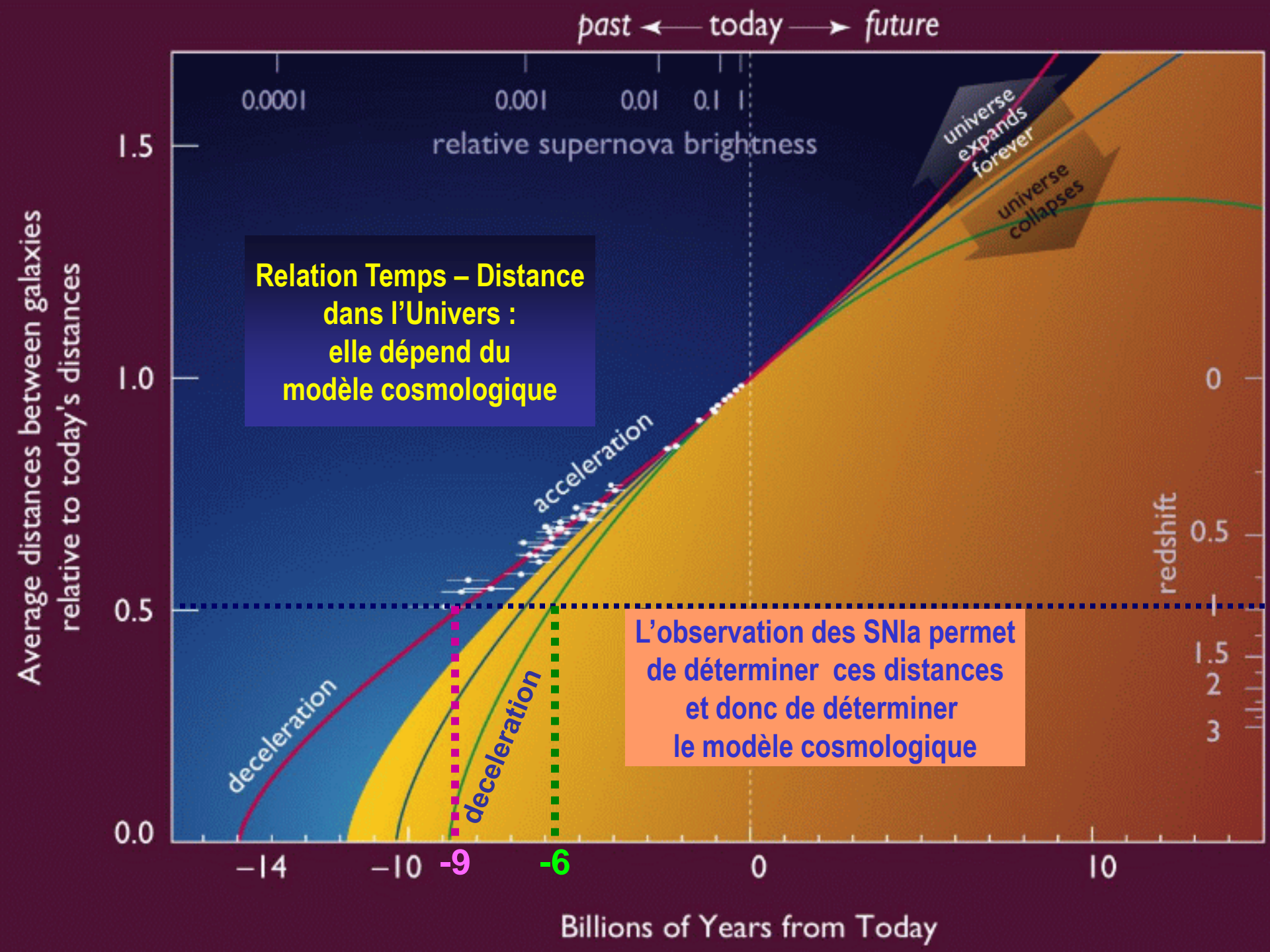
SNIa : les phares du bout de l'Univers

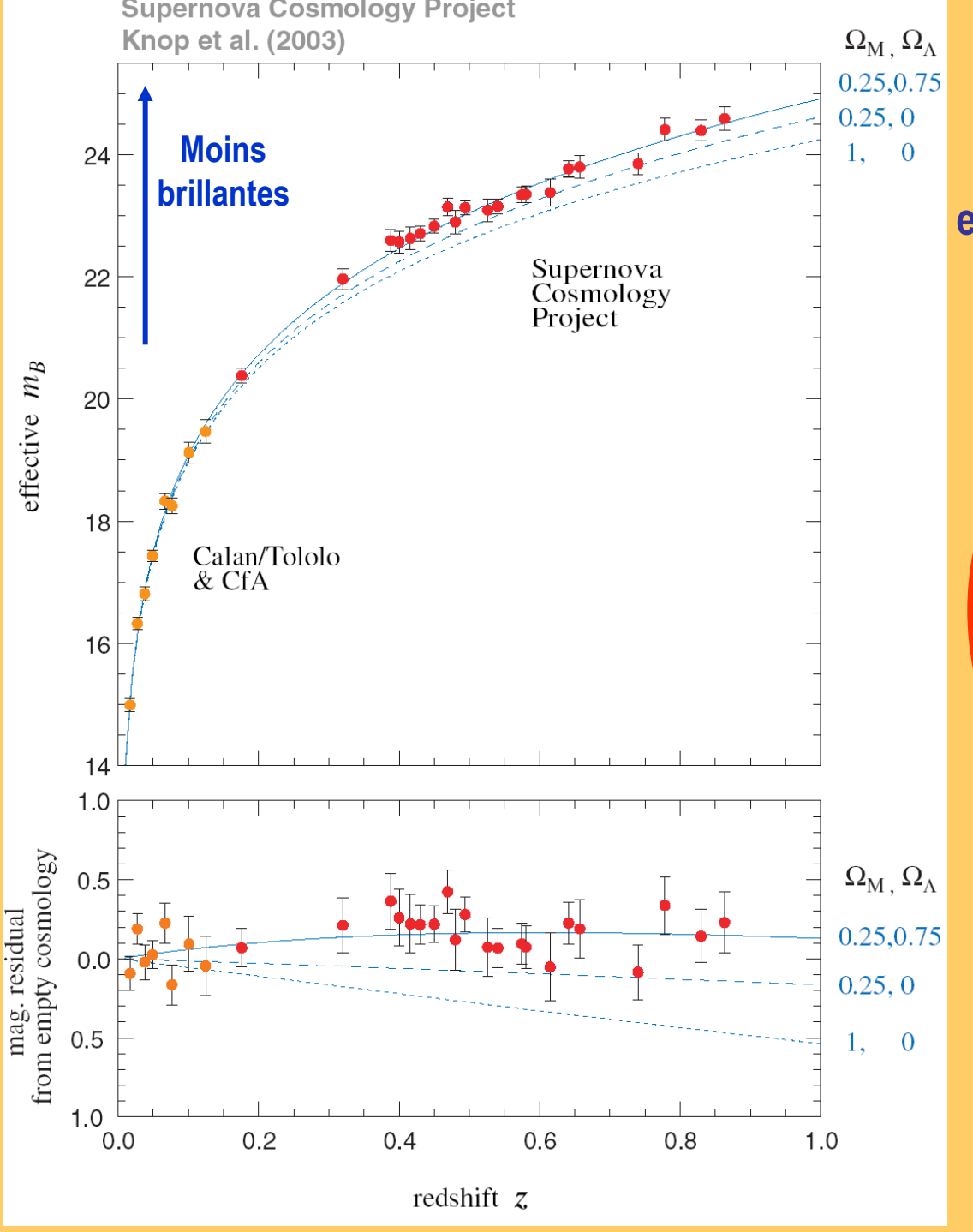


Elles sont utilisées comme "chandelles standard" en Cosmologie, pour la détermination de distances:

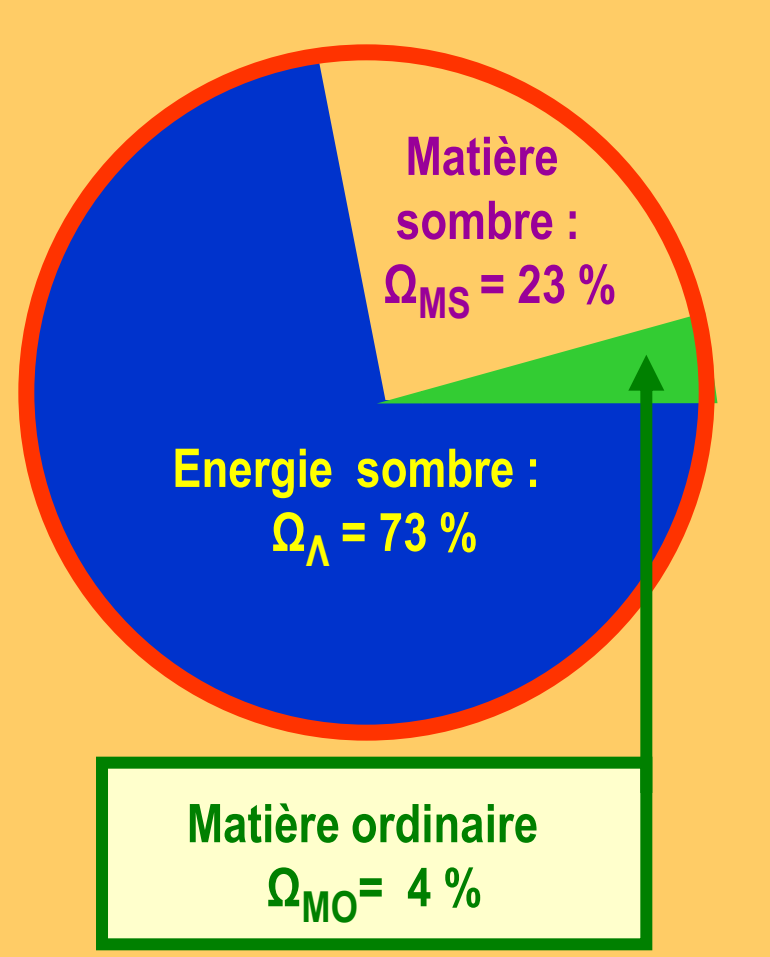
Flux sur Terre =
$$\frac{\text{Luminosité}}{4 \pi \text{ (Distance)}^2}$$

Cela a permis la découverte en 1998 de *l'accélération de l'expansion de l'Univers* attribuée à une (toujours mystérieuse) *Energie sombre*



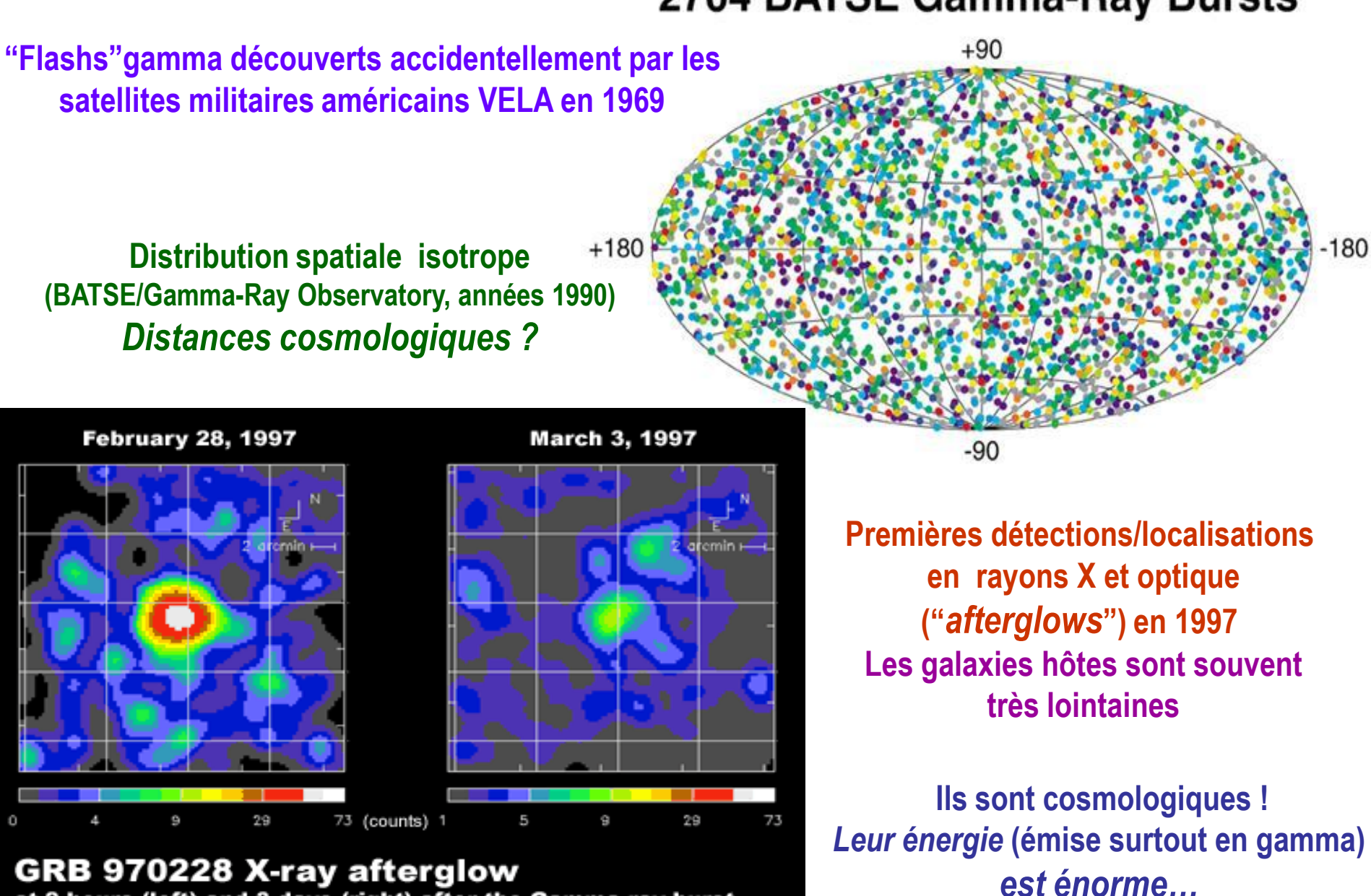


L'Univers est plat (densité totale Ω_{TOTAL} = 1) et *dominé par l'énergie sombre*



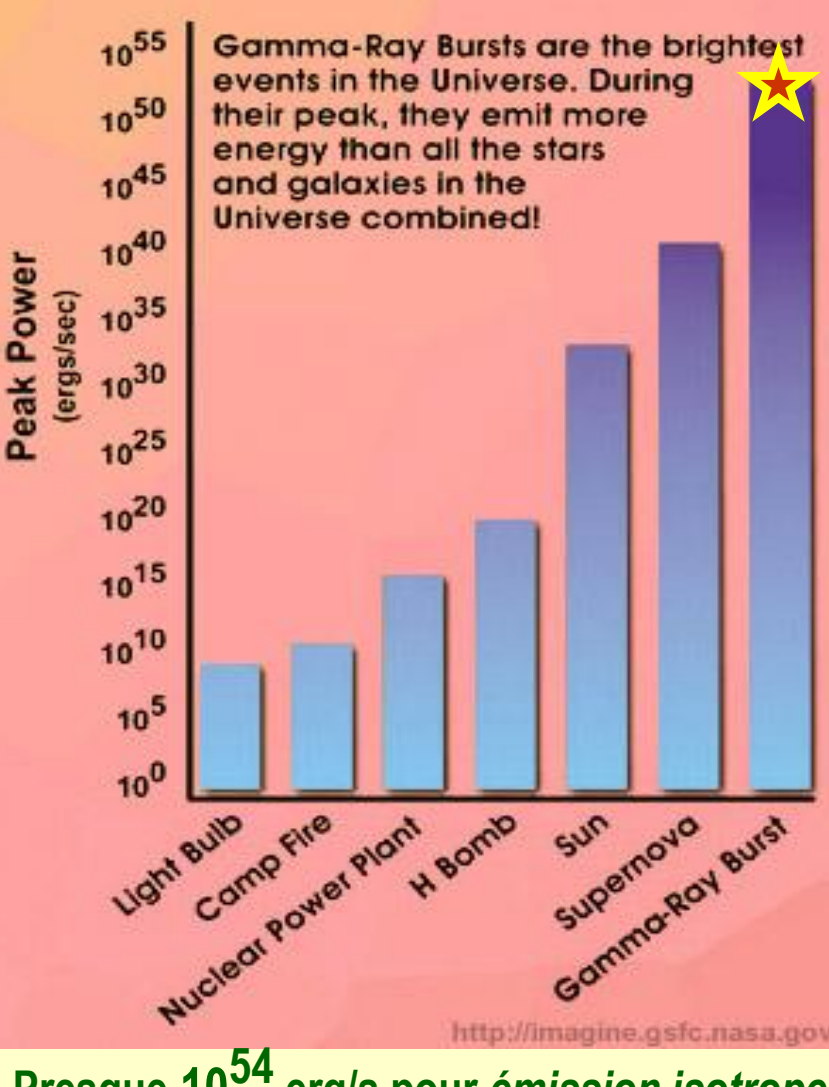
Les sursauts gamma

2704 BATSE Gamma-Ray Bursts



at 8 hours (left) and 3 days (right) after the Gamma-ray burst.

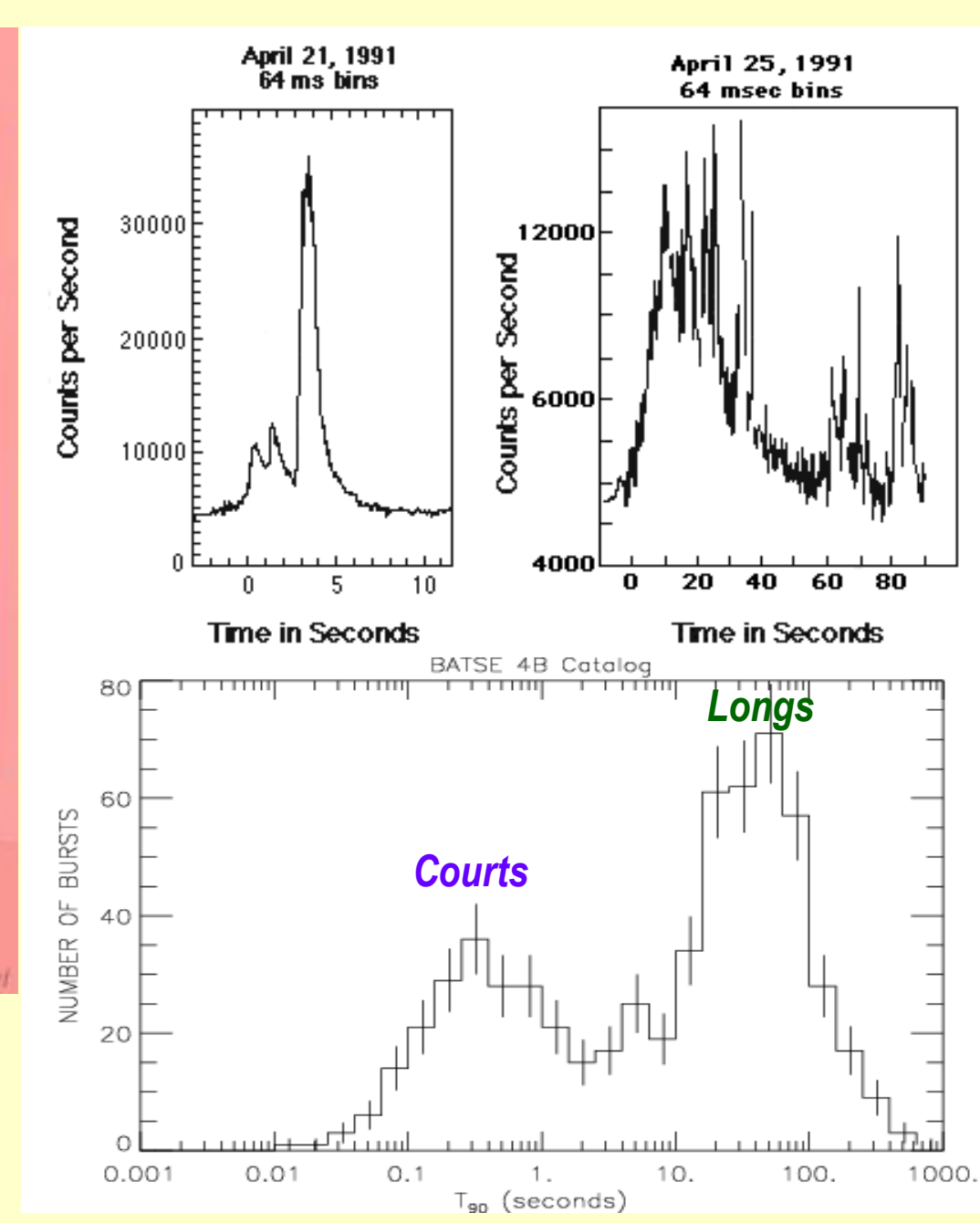
Champions toutes catégories de luminosité photonique



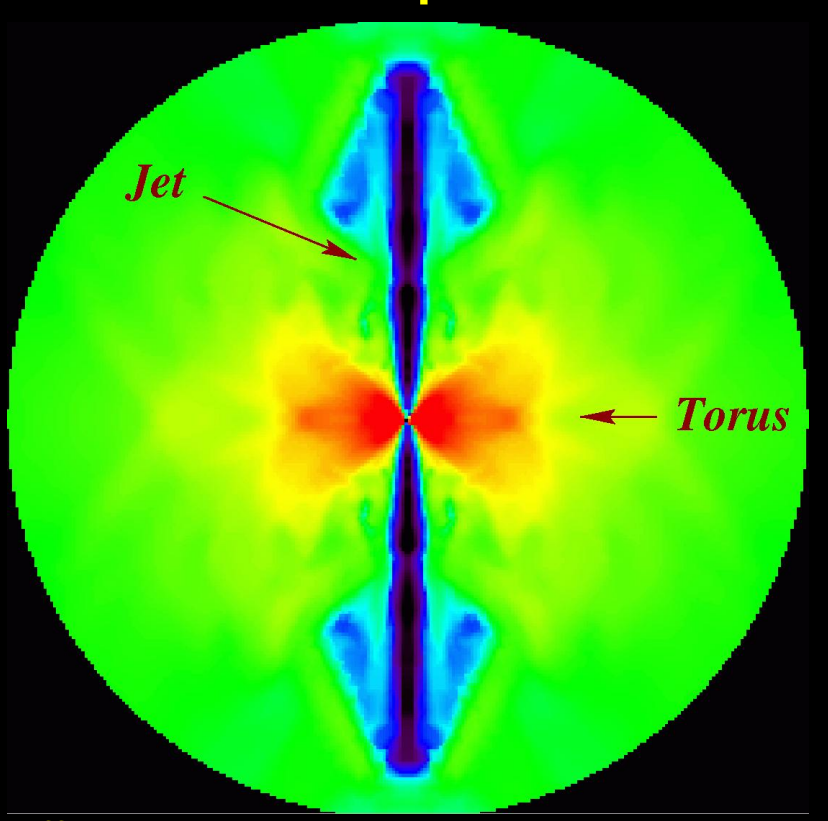
Presque 10⁵⁴ erg/s pour *émission isotrope* Qq. 10⁵² erg/s pour *émission en faisceau*

Essentiellement en photons gamma! (supernovae classiques: *en neutrinos*)

Une grande variété de courbes de lumière en gamma

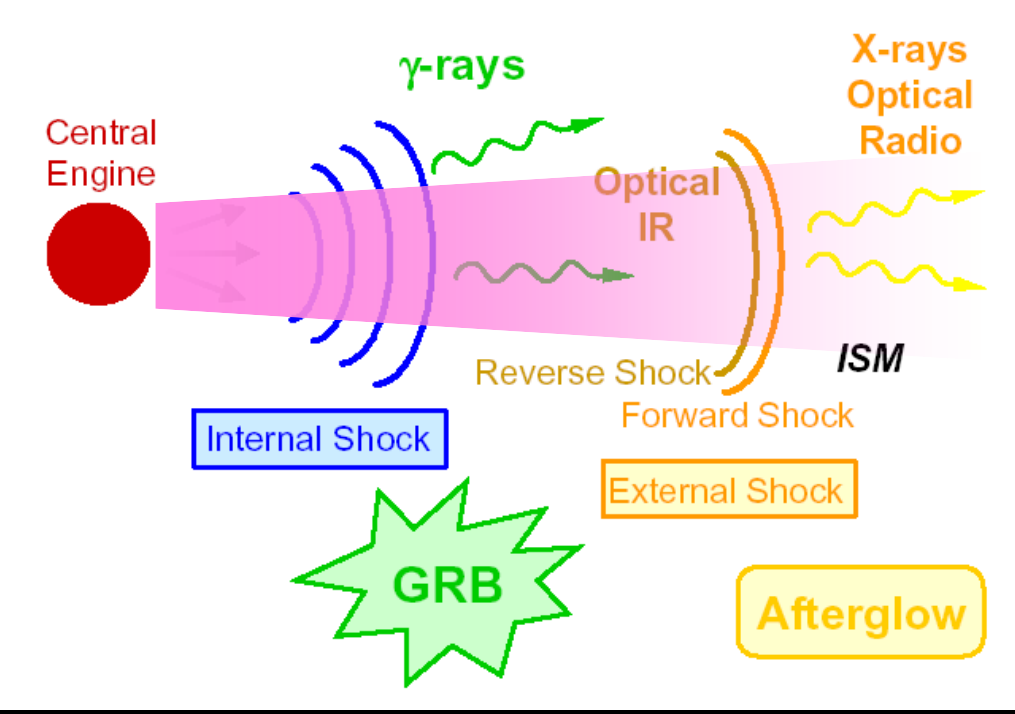


Le moteur central (sursauts longs): "collapsar"



Effondrement du coeur d'une étoile massive en rotation;
formation d'un disque d'accretion et de deux jets
le long de l'axe de rotation
(alimentés par l'énergie gravitationnelle de l'accretion sur l'objet central)

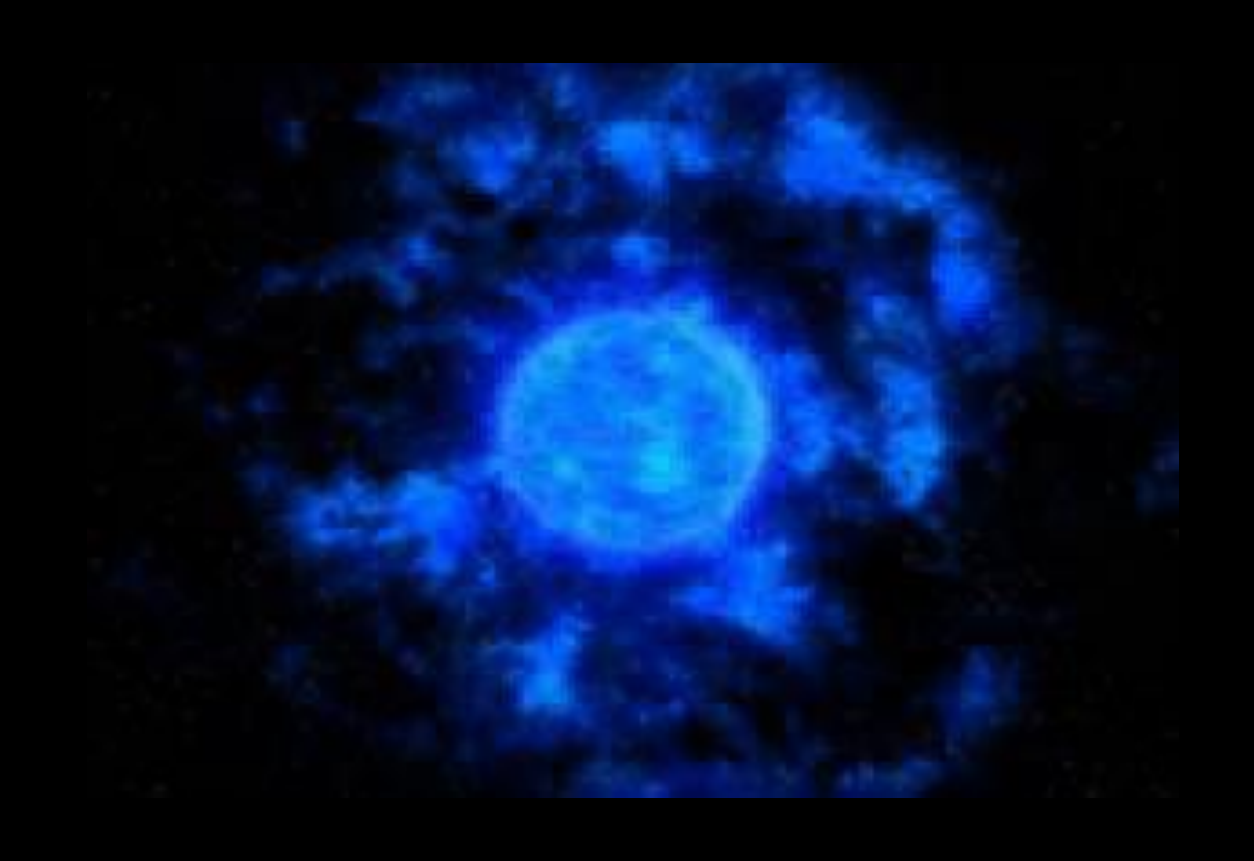
Fireball Shock Scenario



L'émission gamma se fait par les *chocs internes* de différentes couches ultra-relativistes des jets

Les émissions aux autres longeurs d'onde ("afterglows") se fait par les *chocs externes* des jets avec le milieu interstellaire

Collapsar: accrétion, jets, sursaut gamma



Supernovae: Perspectives

SN par Effondrement Gravitationnel:
Détecter une dans la Voie Lactée,
ses neutrinos et ses
ondes gravitationnelles;
Comprendre le mécanisme
de l'explosion

SN Thérmonucléaires :
Comprendre la propagation
de la flamme, (détection
des raies gamma du Co-56)
Comprendre le(s)
Système(s) progéniteur(s)

Sursauts gamma :
Comprendre le rôle de la rotation
et du champ magnétique,
et le mécanisme d'émission ;
les utiliser en cosmologie

Premières supernovae :
Etoiles supermassives ?
Rôle dans la formation
et l'évolution des galaxies

- Thierry Montmerle · Nicolas Prantzos --

SOLEILS ÉCLATÉS LES SUPERNOVAE

Préface de Jean-Claude Pecker

